

# conex

## club

ELECTRONICĂ PRACTICĂ PENTRU TOȚI

Preț: 19 500 lei

REVISTĂ LUNARĂ • ANUL II - NR. 20



■ RECEPTOR 144 - 146MHz

■ MICROCONTROLLERE  
MICROPROCESOARE

■ PA 25W CU MOSFET

■ SURSĂ COMPLEXĂ  
DE TENSIUNE

■ LM386

■ REZISTENȚĂ DE  
SARCINĂ



# PROXXON

## BFW 40/E

BWF 40/E este o unealtă ce realizează operațiuni de găurile și frezare pentru oțel, fontă, aluminiu, alamă, lemn și mase plastice.

Alimentarea de la rețea electrică 220...240V se face prin intermediul unui alimentator ce furnizează pentru motorul de acționare o tensiune de 40V.

Putere absorbită 300W și poate acționa cu o turăție între 900 și 6 000 ture/min controlată electronic.

Greutate: 4,2kg.



# SUMAR

|   |    |
|---|----|
| CIRCUITE IMPRIMATE .....                        | 1  |
| MICROCONTROLLERE<br>ȘI<br>MICROPROCESOARE ..... | 4  |
| SURSA COMPLEXĂ<br>DE TENSIUNE .....             | 9  |
| SERVICE TV .....                                | 15 |
| RECEPTOR<br>144 - 146MHz .....                  | 18 |
| AF - CATALOG<br>LM386 .....                     | 22 |
| CARTELĂ 3 RELEE<br>PENTRU PC .....              | 24 |
| REZISTENȚĂ<br>DE SARCINĂ .....                  | 26 |
| REPETOARE<br>PENTRU<br>RADIOAMATORI .....       | 28 |
| CALENDAR FRR .....                              | 30 |
| PA - 25W<br>CU MOSFET .....                     | 31 |

## CIRCUITE IMPRIMATE

### articol introductiv

șl. dr. ing. Norocel - Dragos Codreanu  
Universitatea "POLITEHNICA" din  
București  
Facultatea Electronică și Telecomunicații  
UPB-CETTI  
e-mail: noroc@cadtieccp.pub.ro

Proiectarea sistemelor, echipamentelor și modulelor electronice performante a devenit în prezent o activitate din ce în ce mai delicată din cauza creșterii frecvențelor de lucru și miniaturizării, atât la nivel de aparat sau "board" (placă), cât și la nivel de componentă. O poziție "de frunte" (dar deloc de invidiat, după cum se va vedea) o ocupă structurile pasive de interconectare (numite în limbajul comun **circuite imprimante** sau **cablaje imprimante**) care, odată cu creșterea:

- frecvenței de lucru,
- densității componentelor electronice din cadrul plăcilor echipate,
- densității din interiorul componentelor/dispozitivelor complexe,
- "poluării" electromagnetice a mediului, și cu scăderea:
- dimensiunilor sistemelor, echipamentelor și modulelor,
- dimensiunilor componentelor/dispozitivelor electronice,
- marginilor de zgromot,
- timpilor de propagare prin portile logice,
- timpilor de front ai semnalelor care se propagă,

au ajuns în situația de a crea mari probleme proiectanților din electronică și de a deveni obiectul de studiu al multor firme și laboratoare în momentul de față.

Elementul fundamental în proiectarea structurilor de interconectare îl reprezintă modulul electronic. Prin modul electronic trebuie să se întelegă o placă (plachetă) de circuit imprimat echipată cu componente

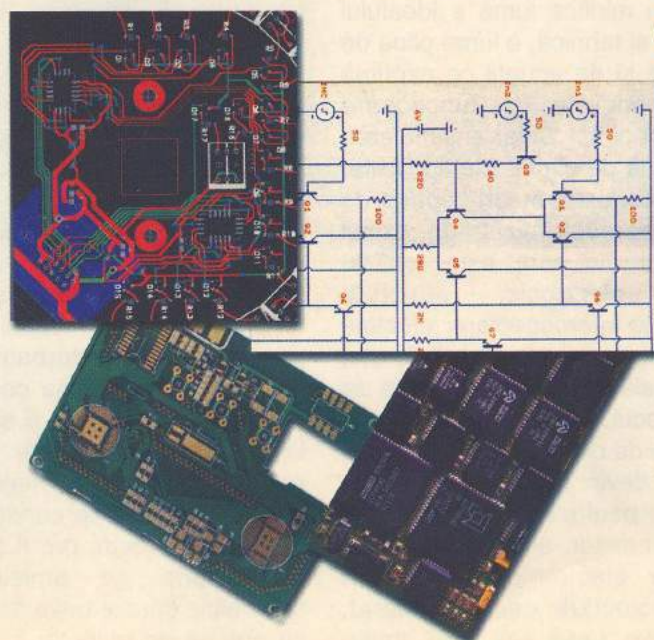


Fig. 1

electronice ce realizează în timpul funcționării sale anumite funcții dorite de proiectant. În limbajul comun, modulul mai poartă și numele de montaj electronic. Majoritatea articolelor din cadrul revistei Conex Club prezintă o diversitate mare de montaje (deci module) destinate unor multiple aplicații practice interesante. În *figura 1* se pot observa patru "momente" importante ale fluxului de proiectare și fabricație al unui modul electronic. În dreapta-sus poate fi remarcată faza de proiectare a schemei electrice, în stânga-sus faza de proiectare a circuitului imprimat, în stânga-jos placa de circuit imprimat obținută după fabricație iar în dreapta-jos modulul complet echipat cu componente.

Pentru vizualizarea mai bună a unor detalii din cadrul fazei de proiectare a plăcii de circuit imprimat, în *figura 2* este prezentat un "zoom" al unei zone din *figura 1* stânga-sus, "zoom" în care cititorul poate recunoaște cele două straturi electrice de proiectare (layer-e), pastilele de interconectare a terminalelor componentelor la structura de interconectare (pad-uri), precum și găurile de trecere (viasuri) de interconectare a straturilor precizate mai sus.

Evaluarea schemelor electronice teoretice (ideale sau "pe hârtie", cum mai sunt ele numite) se află, din păcate, în mirifica lume a idealului din știință și tehnică, o lume plină de teorii pure și de ecuații ce exprimă perfect condițiile de funcționare dorite de inginer. Chiar și simularea performantă de circuit (de tip Spice, de exemplu) este uneori departe de adevăr deoarece nu ia în calcul materialele din care este realizat modulul electronic, structura metalică de interconectare, efectele parazite care apar în practică, etc. Lumea reală este, deci, departe de a fi perfectă. Fenomenele secundare, care de cele mai multe ori sunt neglijate, devin uneori suficient de importante pentru a perturba funcționarea sistemelor, echipamentelor și modulelor electronice. Astfel, în cadrul proiectării oricărui aparat, realizat din unul sau mai multe

module, trebuie să se țină seama (pe lângă limitările datorate dispozitivelor folosite) de multiplele fenomene ce pot să apară în cadrul structurilor pasive de interconectare a componentelor, modulelor, echipamentelor sau sistemelor. În loc să se comporte conform teoriei circuitelor din regimul staționar sau lent variabil în timp (conexiuni

electromagnetice exterioare modulului). Chiar dacă uneori frecvența de lucru poate fi considerată a nu fi foarte mare, armonicele acesteia, mai ales în cazul semnalelor digitale, pot să fie semnificative chiar și cu o decadă mai sus, fapt ce conduce la fenomene de radiație pe armonicele superioare ale semnalului. De asemenea, diafonia dintre traseele

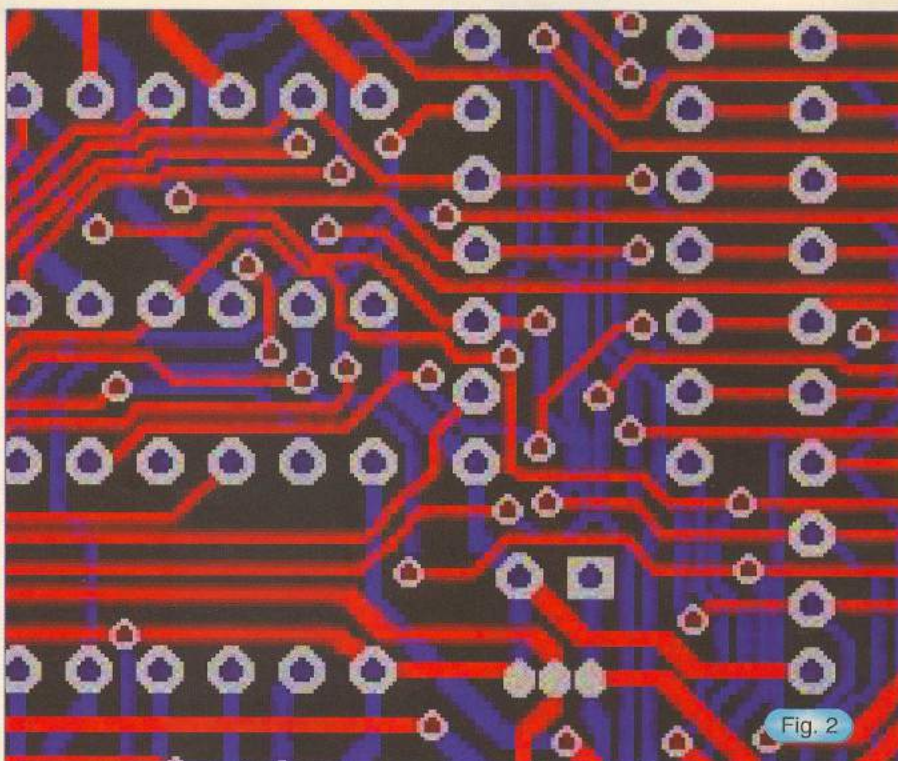


Fig. 2

electrice de impedanță nulă, curenti constanti și tensiuni constante în lungul traseelor conductoare) și să transmită la ieșirea lor un semnal identic cu cel primit la intrare, structurile reale de interconectare, datorită fenomenelor de dependență a impedanței de frecvență (ce conduc la apariția efectelor pelicular și de proximitate), existenței pierderilor în materialul dielectric din care este realizat substratul, diverselor discontinuități și neadaptări, precum și a mecanismelor de producere a perturbațiilor interne/externe, pot să se comporte cu totul altfel decât ideal și să conducă la funcționări incorecte cu efecte negative minore sau majore. Nu în ultimul rând, trasee conductoare de anumite geometrii pot fi privite atât ca antene de emisie pentru semnalele care le traversează, cât și ca antene de recepție a câmpurilor

conductoare reprezentă tot cuplaje electromagnetice care, datorită distanțelor mici între sursele și receptoarele de perturbații se manifestă în general sub forma unor perturbații de câmp apropiat, prin componente sale electrică și magnetică.

De la început trebuie evidențiat faptul că fenomenele negative din cadrul circuitelor imprimate sunt de cele mai multe ori fenomene ascunse, "de finețe", uneori cu o repetabilitate departe de ce și-ar dori proiectantul și cu o punere în evidență numai pentru anumite configurații geometrice sau de semnal și doar pentru anumite tipuri/familii de dispozitive și circuite electronice.

În concluzie, generarea manuală, semiautomată sau automată a structurilor de interconectare trebuie realizată cu foarte mare atenție

deoarece configurațiile optime trebuie determinate "apriori" (prin experiență acumulată, mijloace analitice sau numerice, teoria liniilor de transmisiune, modelare și simulare) și nu "aposteriori", după realizarea prototipului sau primelor serii (funcționând nesatisfăcător!!!), știut fiind că fenomenele nedorite și mecanismele de generare a perturbațiilor, de multe ori fie deosebit de subtile, fie aleatoare, nu pot fi complet evidențiate prin simpla realizare practică a unui model experimental sau prin măsurători sporadice (ce pot arăta că totul este în ordine).

Problema principală ce trebuie avută în vedere la transmisia semnalelor în cadrul circuitelor imprimate este cea legată de păstrarea integrității acestora. A apărut astfel sintagma "analiza integrității semnalelor" ("Signal Integrity Analysis" în limba engleză). Ea se referă la multitudinea fenomenelor ce trebuie luate în considerare în vederea protejării semnalelor utile care se propagă pe traseele de interconectare și a apărut în special în ultimul deceniu datorită creșterii explozive a frecvențelor de lucru ale circuitelor digitale și scăderii dramatice a timpilor de front crescător / descreșător ( $t_r/t_f$ ) ai semnalelor care se propagă pe trasee. În aceste condiții



Fig. 3

traseele metalice din cadrul modulelor performante PCB (PCB - Printed Circuit Board, placă de circuit imprimat sau placă cu circuite imprimate; uneori se va putea găsi și abrevierea PWB - Printed Wiring Board) nu mai pot fi considerate ca simple conduc-toare. La viteze foarte mari de comutare ( $t_r < 2...3$  ns) și frecvențe înalte ( $f > 100MHz$ ) traseele PCB trebuie tratate ca linii de transmisiune și de aceea, pentru o funcționare stabilă și predictibilă a modulului real, este necesară o evaluare precisă a caracteristicilor electrice ale ansamblului format din structura de interconectare și substratul dielectric (în figura 3 este prezentată o placă multistrat

destinată aplicațiilor profesionale de mare viteză din domeniul telecomunicațiilor). La finalul etapelor de evaluare trebuie găsite metode concrete de control al caracteristicilor, atât în faza de proiectare, cât și în cea de fabricație.

În figura 4 este prezentată diagrama de timp a unui semnal dreptunghiular transmis pe un traseu de interconectare. În cadrul ei se pot observa alterările care se produc față de forma inițială dreptunghiulară (de fapt trapezoidală, ținând seama că fronturile nu au timpi de creștere/descrescere nuli). Pot fi observate diverse modificări ale semnalului pentru câteva situații legate de fenomenele care îl afectează integritatea. Au fost suprapuse mai multe grafice tocmai pentru a fi scoase în evidență diferite forme reale la care poate să ajungă un semnal dreptunghiular, "curat" la intrarea în linie. În figură se pot observa efectele "ringing" - oscilații amortizate la stabilirea pe palier, "overshoot" - supracreșteri, "undershoot" - descreșteri sau "subcreșteri" (pe formele de undă albastre), oscilații pe fronturi (pe formele de undă de ambele culori) și chiar creșteri semnificative ale duratălor fronturilor (pe forma de undă roșie), efecte ce pot afecta, uneori extrem de neplăcut, funcționarea circuitelor aflate în lucru.

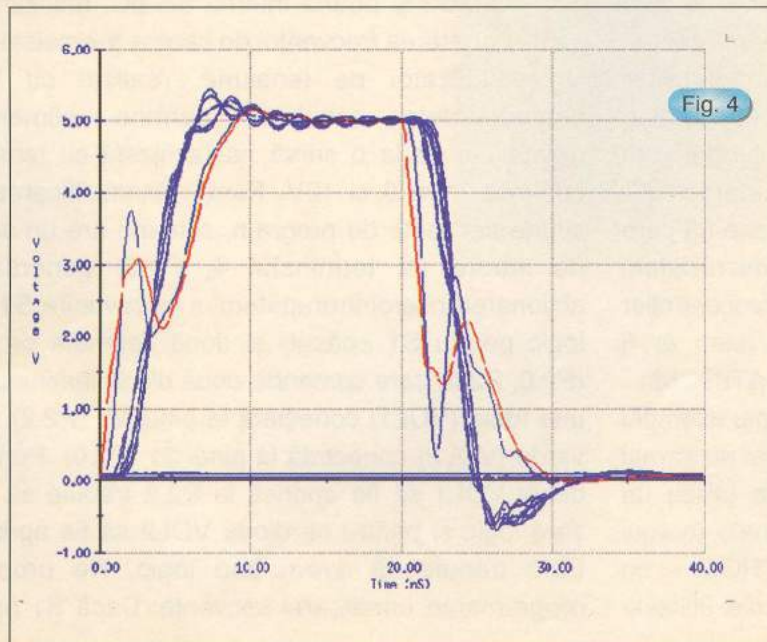


Fig. 4

Continuare în pagina 32



## Microcontrolere Micropresoare

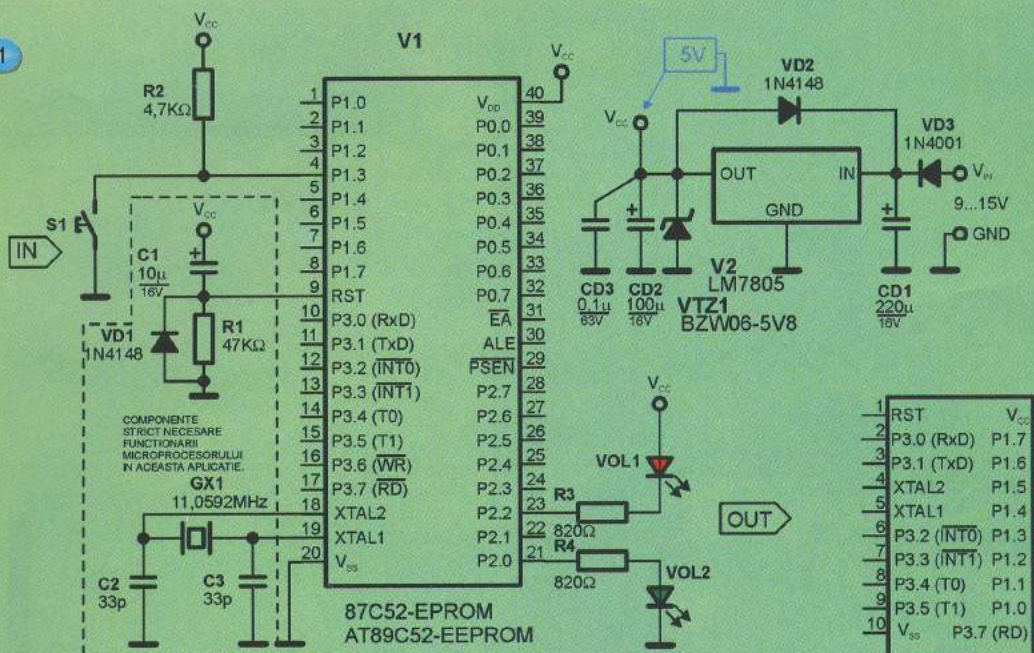
ing. Ștefan Laurențiu

### Microcontrolere din familia 80C32

Poate că este pretențios titlul de față - nu sunt decât două aplicații, dar este vorba de "Introducere...". Prima aplicație este mai apropiată de domeniul ușual în care se folosesc aceste microcontrolere: operații de intrare - ieșire asupra unor semnale numerice, fără a utiliza alte resurse în afara celor proprii microcontrollerului. Vom încerca să abordăm un pic și unele aspecte de programare ale microcontrollerelor. Pentru că microcontroller este un cuvânt lung îl vom înlocui în cele ce urmează cu prescurtarea µC. Revenind, în *figura 1* este prezentată o schemă care are toate componentele necesare unui microsistem cu µC. Ea este realizată pe baza unui microcontroller care fie dispune de memorie EPROM (cum ar fi 87C52), fie de memorie EEPROM (ca la AT89C52) - ar fi prea costisitoare utilizarea într-un simplu exemplu a unui µC cu ROM/PROM; odată programat nu ar mai fi bun de altceva! Ca variantă, se poate utiliza un microcontroller cu număr redus de terminale (numai 20, DIL20-300), de asemenea cu EEPROM - un AT89C2051. Evident, în acest caz porturile utilizate

trebuie să fie altele, din cele disponibile. La schema din *figura 1* este utilizat un circuit extern de inițializare (generare a semnalului RESET) realizat cu C1, VD1, R1, un oscilator pilotat cu cristal de cuarț format din GX1, C2, C3 și poarta internă din µC, realizându-se astfel generarea frecvenței de ceas a microsistemu. Un stabilizator de tensiune, realizat cu V2 și componentele asociate, permite alimentarea montajului de la o sursă nestabilizată cu tensiunea cuprinsă între 9 și 12V. Pentru exemplificarea unei scurte secvențe de program, schema are un semnal de intrare (la terminalul 4, P1.3) generat prin actionarea microîntrerupătorului cu revenire S1 (zero logic pentru S1 apăsat) și două semnale de ieșire (P2.0, P2.2) care comandă două diode luminiscente - una roșie (VOL1) conectată la pinul 23 (P2.2) și una verde (VOL2) conectată la pinul 21 (P2.0). Pentru ca dioda VOL1 să fie aprinsă la P2.2 trebuie să avem zero logic și pentru ca dioda VOL2 să fie aprinsă la P2.0 trebuie să avem unu logic. Ne propunem programarea următoarei secvențe: Dacă S1 nu este

Fig. 1



|    |             |                 |    |
|----|-------------|-----------------|----|
| 1  | RST         | V <sub>cc</sub> | 20 |
| 2  | P3.0 (RXD)  | P1.7            | 19 |
| 3  | P3.1 (TXD)  | P1.6            | 18 |
| 4  | XTAL2       | P1.5            | 17 |
| 5  | XTAL1       | P1.4            | 16 |
| 6  | P3.2 (INT0) | P1.3            | 15 |
| 7  | P3.3 (INT1) | P1.2            | 14 |
| 8  | P3.4 (T0)   | P1.1            | 13 |
| 9  | P3.5 (T1)   | P1.0            | 12 |
| 10 | P3.7 (RD)   | V <sub>ss</sub> | 11 |

Varianta utilizând un microcontroller  
în capsula DIL20  
AT89C2051-EEPROM

apăsat luminează LED-ul verde; la apăsarea lui S1, pentru un timp VOL2 se stinge și se aprinde LED-ul roșu; se revine în situația inițială și ciclul se reia dacă S1 este apăsat din nou.

Programarea μC se face cu programatoare专化ate (după ștergerea prealabilă a vechiului program - fie prin expunerea la lumină ultravioletă, pentru cele cu EPROM, fie electric, la cele cu EEPROM). Față de costisitoarea variantă de mai sus, mai există posibilitatea utilizării unui calculator personal - mai ales pentru μC cu EEPROM de la Atmel, a unei mici plăci de interfață și a unui soft de programare corespunzător. Pentru a putea programa μC avem nevoie de cel puțin un asamblor care să cunoască instrucțiunile μC pe care dorim să-l programăm. Etapele programării în limbaj de asamblare sunt următoarele: se scrie programul dorit folosind un editor de texte oarecare (în format text-ASCII) și se asamblează fișierul astfel scris. Modulul (sau modulele) astfel asamblate se grupează împreună la adresa dorită cu editorul de legături (linkeditorul), rezultatul linkeditării se convertește în format hexazecimal și apoi în format binar. Acest fișier este utilizat de către programatorul specializat pentru inscripționarea memoriei program a μC.

Mai departe se verifică buna funcționare a programului. Dacă acesta nu merge bine, se revine la prima etapă, se modifică fișierul inițial, se șterge

conținutul memoriei de program a μC, se reiau operațiile de mai sus și se reînscrie μC cu noul cod și aşa mai departe, până când programul funcționează corespunzător. Această abordare este potrivită pentru programele mici, simple, unde posibilitățile de eroare sunt reduse. Pentru programe mai mari se utilizează sisteme de dezvoltare care permit plasarea programului într-o memorie de tip RAM și rularea lui de acolo, schimbările fiind mai ușor de făcut; programarea structurată în limbaj de nivel superior (în C, de exemplu) folosind compilatoare performante pentru generarea codului obiect și depanarea programului cu simulatoare software specializate. Revenind la exemplul nostru, iată în **figura 2** particularizarea etapelor amintite pentru micul program propus la începutul acestui articol. Avem nevoie de un asamblor (A51), de un linkeditor (L51), de un program de conversie din cod obiect în cod hexa (OHS51) și de un program de conversie din cod hexa în cod binar (Hexbin). Programul pe care dorim să-l scriem l-am denumit "buton1". Am scris (**figura 2A**) un fișier de instrucțiuni (.bat) care apelează asamblorul A51 cu referire la fișierul buton1.a51, apoi linkeditorul L51 care plasează instrucțiunile de program la adresa 0000H și programul de conversie din cod obiect în cod hexazecimal. Am scris programul pe care-l doream, cu un editor de texte care poate salva în format text pur (ASCII-fără

```

NAME buton1
CSEG AT 0
USING 0
; programul incepe la adresa 0000H
; aici se ajunge imediat după reset
; Register-Bank 0

start:
    setb P2.0           ; aprinde VOL2, port 2.0/pin 21=1 logic
    jnb P1.3, start      ; asteapta aici apasarea pe buton
    clr P2.0             ; daca s-a apasat pe buton, stinge VOL2
    clr P2.2             ; aprinde VOL1, port P2.2/pin 23=0 logic
    mov R7,#0FFH          ; incepe o bucla de temporizare
    bucla1: mov R6,#0FFH  ; pentru a putea observa efectul
    bucla2: mov R5,#0FFH
    bucla3: djnz R5,bucla3
    djnz R6,bucla2
    djnz R7,bucla1
    setb P2.0           ; reaprunde VOL2
    setb P2.2             ; stinge VOL1
    jmp start            ; revine la inceputul programului
    ; si totul se rela de la inceput

END

```

Fig. 2B

a51 buton1.a51 debug  
L51 buton1.OBJ CODE (0000H) XDATA(08000H) IXREF  
OHS51 buton1

Fig. 2A

A51 MACRO ASSEMBLER BUTON1  
MS-DOS MACRO ASSEMBLER A51 V4.3  
OBJECT MODULE PLACED IN BUTON1.OBJ  
ASSEMBLER INVOKED BY: A51 BUTON1.A51 DEBUG

DATE 03/01/01 PAGE 1

| LOC         | OBJ     | LINE | SOURCE  |
|-------------|---------|------|---|
|             |         | 1    | ;   |
|             |         | 2    | NAME buton1   |
|             |         | 3    | ;   |
|             |         | 4    | ;   |
|             |         | 5    | ;   |
|             |         | 6    | ;   |
|             |         | 7    | CSEG  |
|             |         | 8    | AT 0  |
|             |         | 9    | USING 0   |
|             |         | 10   | ; programul incepe la adresa 0000H                            |
|             |         | 11   | ; aici se ajunge imediat după reset                           |
| 0000        |         | 12   | start:  |
| 0000 D2A0   |         | 13   | setb P2.0           ; aprinde VOL2, port 2.0/pin 21=1 logic   |
| 0002 3093FB |         | 14   | jnb P1.3, start      ; asteapta aici apasarea pe buton        |
| 0005 C2A0   |         | 15   | clr P2.0             ; daca s-a apasat pe buton, stinge VOL2  |
| 0007 C2A2   |         | 16   | clr P2.2             ; aprinde VOL1, port P2.2/pin 23=0 logic |
| 0009 7FFF   |         | 17   | mov R7,#0FFH          ; incepe o bucla de temporizare         |
| 000B 7EFF   | bucla1: | 18   | mov R6,#0FFH          ; pentru a putea observa efectul        |
| 000D 7DFF   | bucla2: | 19   | mov R5,#0FFH  |
| 000F DDFE   |         | 20   | bucla3: djnz R5,bucla3  |
| 0011 DEFA   |         | 21   | djnz R6,bucla2  |
| 0013 DFF6   |         | 22   | djnz R7,bucla1  |
| 0015 D2A0   |         | 23   | setb P2.0           ; reaprunde VOL2                          |
| 0017 D2A2   |         | 24   | setb P2.2             ; stinge VOL1                           |
| 0019 80E5   |         | 25   | jmp start            ; revine la inceputul programului        |
|             |         | 26   | ; si totul se rela de la incep                                |
|             |         | 27   | END   |

Fig. 2C

A51 MACRO ASSEMBLER BUTON1  
SYMBOL TABLE LISTING

DATE 03/01/01 PAGE 2

NAME TYPE VALUE ATTRIBUTES

|          |        |       |   |
|----------|--------|-------|---|
| BUCLA1.. | C ADDR | 000BH | A |
| BUCLA2.. | C ADDR | 000DH | A |
| BUCLA3.. | C ADDR | 000FH | A |
| BUTON1.. | —      | —     | — |
| P1 ..... | D ADDR | 0090H | A |
| P2 ..... | D ADDR | 00A0H | A |
| START..  | C ADDR | 0000H | A |

REGISTER BANK(S) USED: 0

ASSEMBLY COMPLETE, NO ERRORS FOUND

MCS-51 LINKER / LOCATER L51 V2.4

DATE 01/03/01 PAGE 1

MS-DOS MCS-51 LINKER / LOCATER L51 V2.4, INVOKED BY:  
L51 BUTON1.OBJ CODE (0000H) XDATA (08000H) IXREF

INPUT MODULES INCLUDED:

BUTON1.OBJ (BUTON1)

LINK MAP OF MODULE: BUTON1 (BUTON1)

TYPE BASE LENGTH RELOCATION SEGMENT NAME

\*\*\*\*\* DATA MEMORY \*\*\*\*\*  
REG 0000H 0008H ABSOLUTE "REG BANK 0"

\*\*\*\*\* CODE MEMORY \*\*\*\*\*

CODE 0000H 001BH ABSOLUTE

SYMBOL TABLE OF MODULE: BUTON1 (BUTON1)

VALUE TYPE NAME

|         | MODULE | BUTON1 |
|---------|--------|--------|
| C:000BH | SYMBOL | BUCLA1 |
| C:000DH | SYMBOL | BUCLA2 |
| C:000FH | SYMBOL | BUCLA3 |
| D:0090H | SYMBOL | P1     |
| D:00A0H | SYMBOL | P2     |
| C:0000H | SYMBOL | START  |
| ENDMOD  | SYMBOL | BUTON1 |

Fig. 2D

:10000000D2A03093FBC2A0C2A27FFF7EFF7DFFDDA6  
:0B001000FEDEFADFF6D2A0D2A280E5EF  
:00000001FF

Fig. 2E

|             |    |    |    |    |    |    |    |    |
|-------------|----|----|----|----|----|----|----|----|
| 00000000:D2 | A0 | 30 | 93 | FB | C2 | A0 | C2 | DD |
|             | A2 | 7F | FF | 7E | FF | 7D | FF |    |
| 00000010:FE | OE | FA | DF | F6 | D2 | A0 | D2 |    |
|             | A2 | 80 | E5 |    |    |    |    |    |

Fig. 2F

**80C32SDK**

PORT I/E P1+INTRUPERI+INTR. CONTOARE+CONTROL

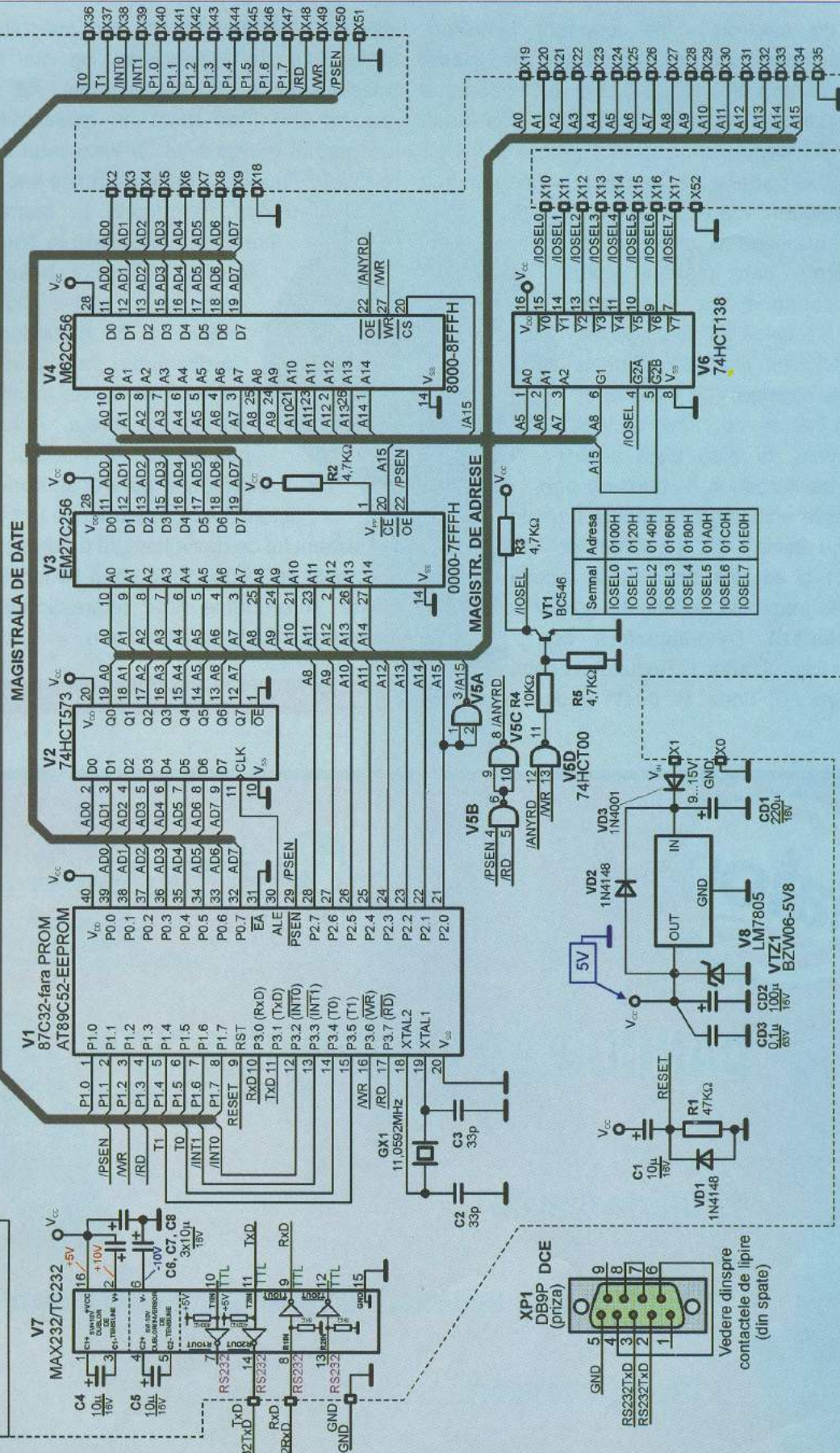
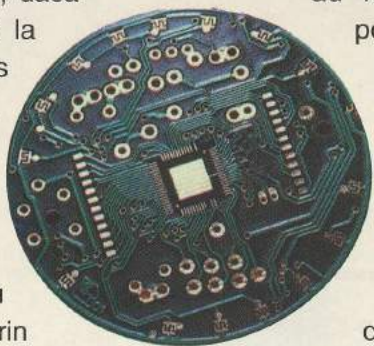


Fig. 3

caracter de control) - de exemplu NotePad, rezultând fișierul buton1.a51 (*figura 2B*). Am plasat programul la adresa 0000H (cu CSEG at 0) deoarece aici ajunge contorul de program al µC imediat după inițializare; la început cu *setb P2.0* aprindem VOL2 setând bitul 0 al portului P2 și cu instrucțiunea de salt *jnb P1.3* așteptăm apăsarea pe buton; dacă ea nu se produce se execută salt la eticheta *start* - care menține aprins VOL2 și continuă cu verificarea apăsării pe S1. Dacă S1 este apăsat, se stinge VOL2 (cu clear bitul 0 de la portul P2) se aprinde VOL1 (cu clear bitul 2 de la P2, ne reamintim că VOL1 avea nevoie de zero logic pentru aprindere), se introduce o întârziere prin decrementarea unor registre interne (zonele etichetate cu bucla1, 2), se reaprinde VOL2, se stinge VOL1 și se reia ciclul de la început. Pentru asamblare se lansează în execuție fișierul buton1.bat care asamblează, linkedită și convertește în format hexa fișierul buton1. Rezultatul asamblării este cel din *figura 2C*, unde se poate vedea, în partea



stângă a fiecărei linii de program, și codul-mașină pentru fiecare instrucțiune. Se mai constată, prin mesajul de la sfârșitul fișierului că asamblarea a decurs fără erori (asta nu înseamnă neapărat că programul merge bine...). Rezultatul linkeditării este vizibil în *figura 2D*, unde se poate vedea modul cum au fost repartizate în memorie diferitele porțiuni de program. În *figura 2E* se vede fișierul în format hexazecimal Intel.

Această ultimă specificare este necesară, deoarece formatul Intel are o dispunere particulară a octetilor Hi și Lo, diferită, de exemplu, de cea în format Motorola. Acest fișier hexa poate fi utilizat, în cazul unui sistem de dezvoltare pentru testarea programului:

fișierul hexa se introduce în memoria RAM a sistemului de dezvoltare, la o adresă cunoscută (de exemplu 8000H) și programul se lansează de acolo, toate intreruperile fiind redirecționate de un mic program adăugat la linkeditare.

Continuare în numărul viitor

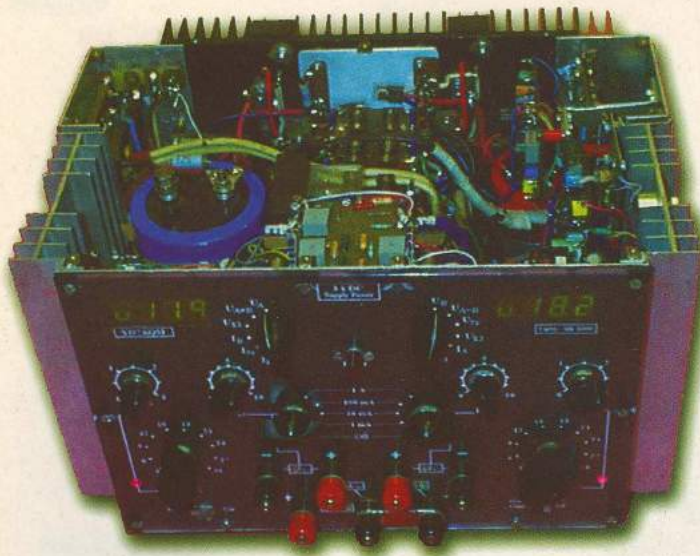
DANCO PRO COMUNICATION  
Bld. Magheru nr. 7 (Agentia ONT Carpati)

- Oferta DIALOG

- Telefoane si accesoriu GSM la preturi exceptionale

- Diverse cadouri

# Sursă complexă de tensiune



Laurențiu Codreanu  
YO7AQM - Pitești

## Sursele de curent constant

### Urmare din numărul precedent

Cele două surse de curent constant (vezi *figura 7*) sunt de asemenea identice funcțional și constructiv și sunt concepute să livreze un curent constant între  $10\mu A$  și  $1A$ , reglabil în patru domenii ( $0...1mA$ ,  $0...10mA$ ,  $0...100mA$  și  $0...1A$ ) prin K601 (K602) și continuu în domeniul respectiv prin P601 (P602).

Curentul necesar este generat de T603 (T606) în funcție de valoarea rezistorului din emitor și de valoarea tensiunii aplicate bazei. Această tensiune se obține prin reducerea și stabilizarea suplimentară a tensiunii de  $5V$  livrată de sursa de tensiune TTL. Deoarece curentul de bază al tranzistorului T603 ajunge la valori de ordinul zecilor de miliamperi în cazul livrării unui curent apropiat

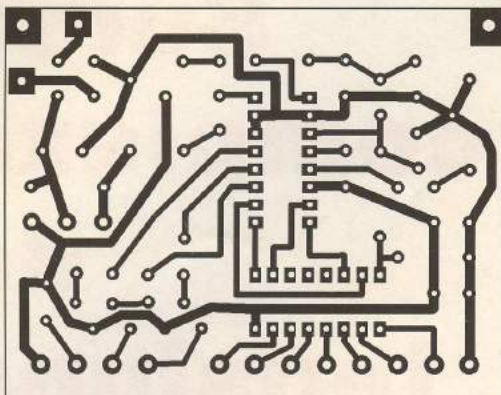
de  $1A$ , este necesară utilizarea unui amplificator de curent pentru a se elimina influența valorii acestui curent asupra liniarității reglajului tensiunii obținute prin potențiometrul P601 (P602). În acest scop s-au introdus T601 și T602 care asigură injectarea unui curent de  $30...40mA$  în baza lui T603 (în funcție de factorul de amplificare al acestuia) plecând de la câțiva microamperi culeși de pe cursorul potențiometrului P601. La trecerea unui curent de colector maxim de  $1mA$  (sau  $10mA$ ,  $100mA$ ,  $1A$ ) pe emitor va fi o tensiune de  $1V$  (impusă de valoarea rezistorilor din emiter pe domeniul respectiv), iar la un curent zero tensiunea va fi de asemenea zero. Rezultă că pentru a obține acest lucru va trebui aplicată pe bază o tensiune între  $0,6$  și  $1,6V$  (valoarea diferă de la tranzistor la tranzistor, în funcție de tensiunea de deschidere a jonctiunii bază-emitor a exemplarului

### Lista componentelor pentru instrumentele digitale IMD-1 și IMD-2 (plăcile 400A/400B și 500A/500B)

- |   |  |
|---|--|
| <input type="checkbox"/> R401 - $150\Omega$ ; R402 - $10k\Omega / \pm 1\%$ ; R403 - $1k\Omega$ ;  | <input type="checkbox"/> C401 - $470\mu F$ ; C402 ÷ C403 - $100nF$ ; C404 ÷ C405 - $2,2\mu F$ (tantal); C406 - $220nF$ ; |
| R404 ÷ R405 - $10k\Omega$ ; R406 - $1k\Omega$ ; R407 ÷ R410 - $10k\Omega$ ; R411 ÷ R417 - $100\Omega$ ; R418 - $150\Omega$ ; R419 - $82\Omega$ ; R420 ÷ R422 - $150\Omega$ ; R423 ÷ R425 - $1k\Omega$ ; | <input type="checkbox"/> D401 - B25C1200 (sau echivalent); D402 - PL5V6; D403 - PL3V4; D404 ÷ D405 - VQE24;              |
| <input type="checkbox"/> R426 - $990k\Omega$ ; R427 - $990k\Omega$ ; R428 - $1,5k\Omega$ ;  | <input type="checkbox"/> T401 - BD13; T402 ÷ T404 - BC337IC-1 - C520;  |
| R429 - $1,5\Omega$ ; R430 - $1k\Omega$ ;  | IC-2 - CDB447;   |
| <input type="checkbox"/> P401 ÷ P402 - $10k\Omega$ ; P403 ÷ P404 - $2,2k\Omega$ ;   | <input type="checkbox"/> S401 - $200mA$ .  |

Componentele de pe plăcile 500A/500B (x5xx) au valori identice cu cele de pe plăcile 400A/400B.

Fig. 10a



Fața cablată

Placa instrumentului de măsură digital (400a și 500a)

respectiv). Pentru a se obține tensiunea (și implicit curentul de colector) necesară, la extremitățile potențiometrului trebuie să se poată culege tensiuni între 1,7V și 3,1V. Această tensiune fiind foarte stabilă, pe baza tranzistorului T603 tensiunea va fi de asemenea stabilă, ceea ce va face ca și curentul de colector al acestui tranzistor să fie constant.

Rezistorii R613...R616 și R630...R633 constituie șunturile pentru citirea curentului de IMD1 și IMD2 pe poziția  $I_{k2}$  și respectiv  $I_{k1}$ . La bornele acelor rezistori trebuie să existe o tensiune de 1,1V la valoarea maximă a curentului pe domeniul respectiv. R616 și R633 se vor executa pe cât posibil din sârmă de constantan sau kanthal pentru a se elibera influența temperaturii asupra acurateții valorii curentului citit de IMD1 și IMD2 pe domeniile de 1A.

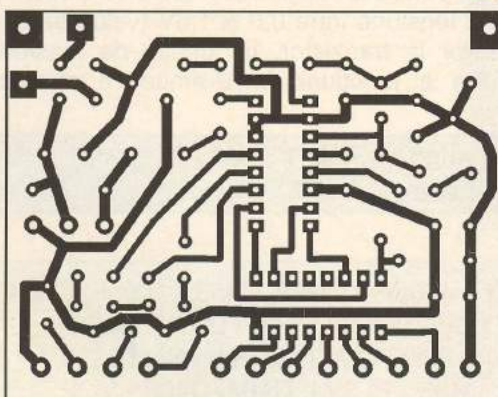
În figura 8 sunt date placa de circuit imprimat și dispozitiva componentelor. Dimensiunile plăcii sunt de 50 x 75 mm. Tranzistorii T603 și T606 vor fi dispusi pe un radiator similar cu cel folosit pentru sursa TTL, montat vertical în partea laterală a incintei.

### Instrumentele de măsură

Pentru măsurarea tensiunilor de ieșire și a curentilor debitați pe sarcină, sursa este prevăzută cu două instrumente digitale realizate cu circuitul integrat specializat C520 (modulele 400 și 500) a căror schemă este dată în figura 9.

Instrumentele sunt alimentate individual de la înfășurările  $L_4$  și respectiv  $L_5$  ale transformatorului de rețea, consumul fiind de aproximativ 100mA. Cu

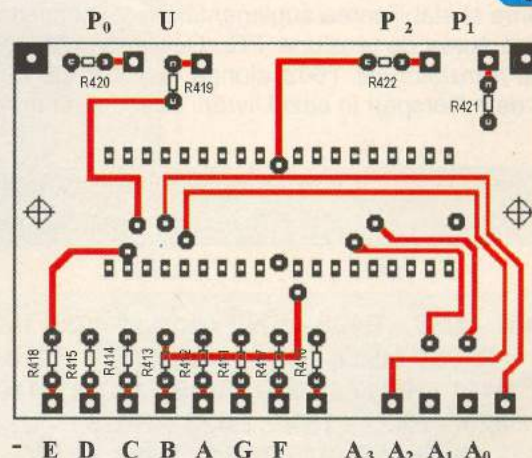
Fig. 11a



Fața inferioară

Placa afișajului instrumentului de măsură (400B și 500B)

Fig. 11b



Amplasarea componentelor și ieșirile spre placă 400a (500a) și comutatorul 601 (602)

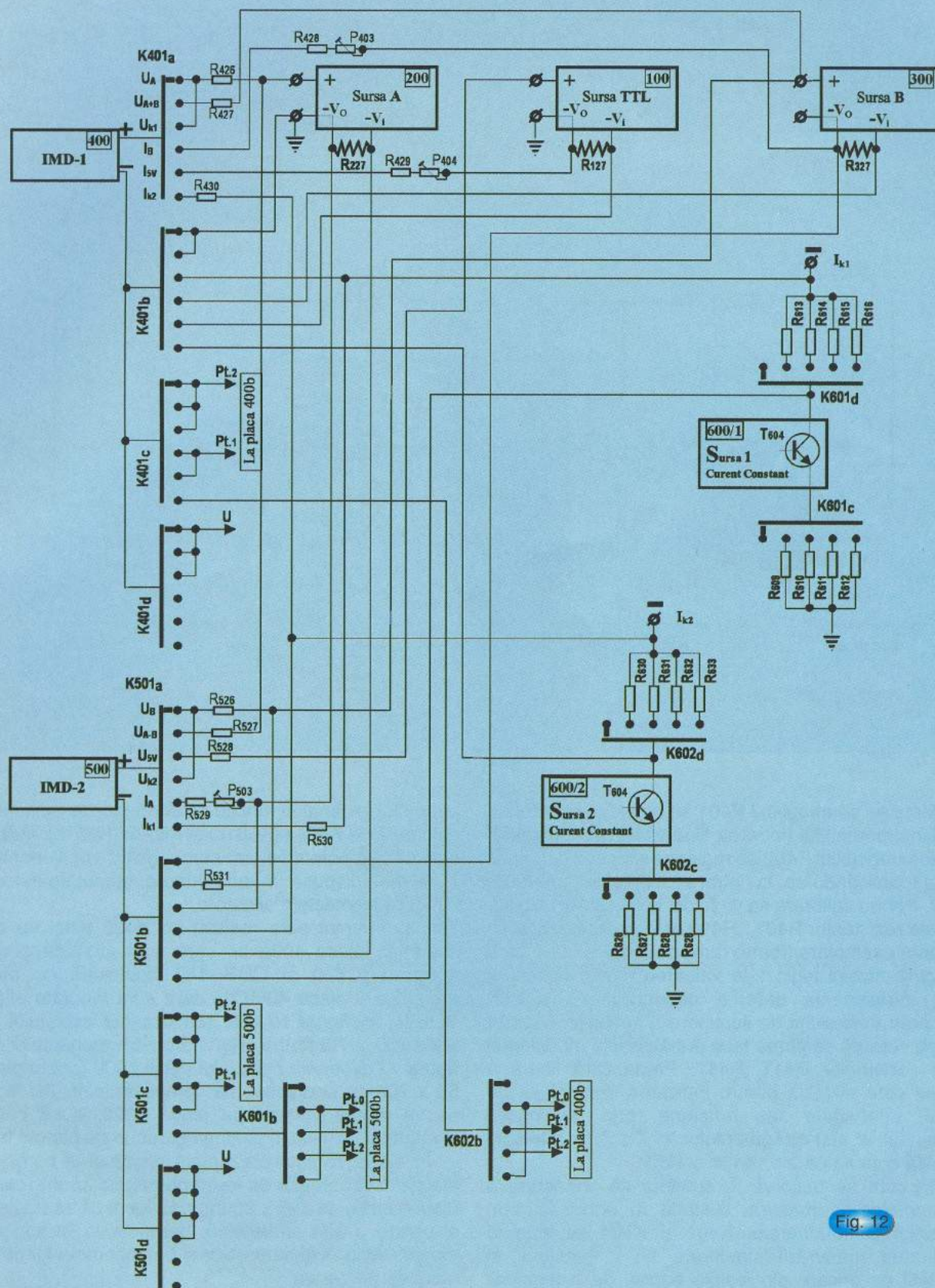


Fig. 12

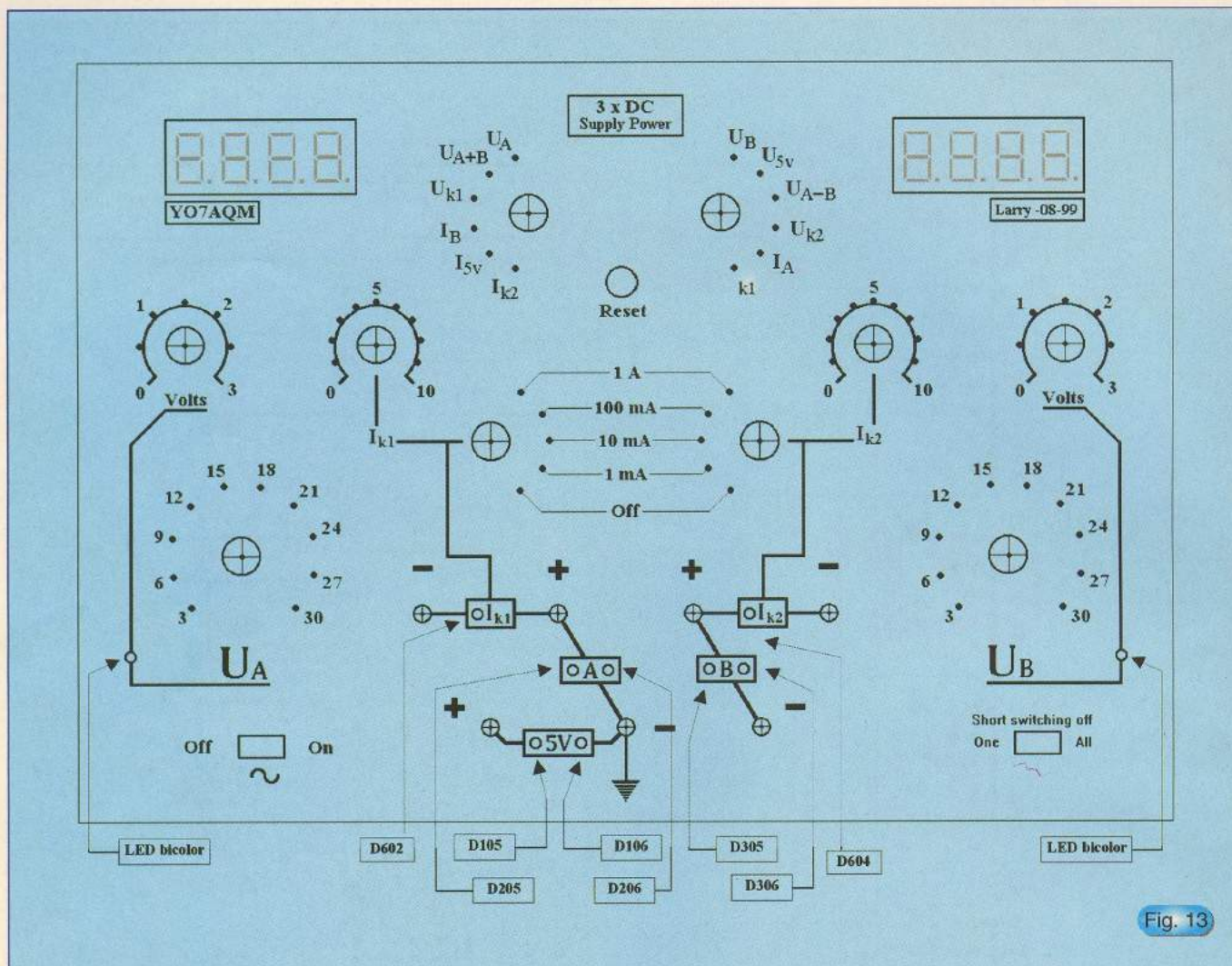


Fig. 13

potențiometrul semireglabil P401 se reglează punctul de zero al instrumentului (intrarea fiind conectată la masă), iar cu semireglabilul P402 se reglează indicația capătului de scală aplicându-se la intrare o tensiune de 900-990mV. Pentru calibrare se va folosi un voltmetru digital. Montarea rezistorilor R407...R410 este necesară doar în cazul unor exemplare (foarte rare) de circuite C520 care nu asigură nivelul logic 1 la valoarea minim necesară pentru intrarea de date a decodatorului CDB447. Modificarea intensității de iluminare a afișajelor VQE24 (cu anod comun) se poate face după dorință modificând valorile rezistorilor R411...R417. Prima cifră liberă a afișajului este utilizată pentru indicarea domeniului de măsură, intensitate sau tensiune, prin iluminarea segmentului "e" sau a segmentelor "c", "d", "e", în funcție de poziția comutatoarelor K401 și K501.

După cum se observă în schema de conectare a instrumentelor de măsură, ilustrată în [figura 12](#), prin intermediul comutatoarelor K401 și K501 se asigură posibilitatea măsurării simultane fie a tensiunii și intensității pe oricare din ieșirile sursei, fie a tensiunii și/sau intensității pe două ieșiri diferite. Deplasarea

punctului zecimal în funcție de domeniul de măsură este asigurată de K401c (K501c) și K602b (K601b). Rezistorii adiționali și potențiometrii semireglabili vor fi montați pe o regletă dispusă în apropierea comutatoarelor sau direct pe contactele acestora.

Instrumentul este realizat pe două placi de circuit imprimat, placă 400a pe care sunt montate circuitele integrate C520 și CDB 447 împreună cu piesele aferente, și placă 400b pe care sunt montate afișajele VQE24. În [figura 10](#) este dat desenul cablajului plăcii 400a (55 x 70mm) și dispunerea componentelor iar în [figura 11](#) desenele cablajului plăcii 400b (dublu placată, 50 x 70mm) și dispunerea componentelor. Placa 400b se va monta vertical pe placă 400a, după care tot ansamblul se fixează cu două șuruburi pe panoul frontal.

În [figura 13](#) este prezentată dispunerea comenziilor, afișajelor și bornelor de ieșire pe panoul frontal, care are dimensiunile de 285 x 200mm. Evident că se poate opta și pentru o altă arhitectură, determinată în special de dimensiunile comutatoarelor și potențiometrelor ce vor fi montate pe panou.

MODURI PENTRU  
A PRIMI REVISTA

conex club

3

- Abonament pe 12 luni: 180 000 lei
- Abonament pe 6 luni: 100 000 lei
- Angajament: plata lunar, ramburs - prețul revistei plus taxe de expediere

conex club conex club conex club conex club conex club

Pentru oricare din cele 3 moduri este necesară completarea unuia din taloane (sau copie) și expedierea pe adresa:

### Revista conex club

Claudia Sandu  
Str. Maica Domnului, nr.48, sector 2,  
București, cod poștal 72 223

#### TALON ABONAMENT

conex  
club

Doresc să mă abonez la revista **conex club** începând cu  
nr..... pe o perioadă de: 12 luni  6 luni

Am achitat cu mandatul poștal nr. .... data .....

suma de: 180 000 lei  100 000 lei

Nume ..... Prenume .....

Str. .... nr. .... bl. .... sc. .... et. .... ap. ....

localitatea ..... județ/sector.....

cod poștal .....

Data..... Semnătura .....

#### TALON ANGAJAMENT

conex  
club

Doresc să mă se expedieze lunar, cu plata ramburs, revista  
**conex club**. Mă angajez să achit contravaloarea revistei  
plus taxele de expediere.

Doresc ca expedierea să se facă începând cu nr.: .....

Nume ..... Prenume .....

Str. .... nr. .... bl. .... sc. .... et. .... ap. ....

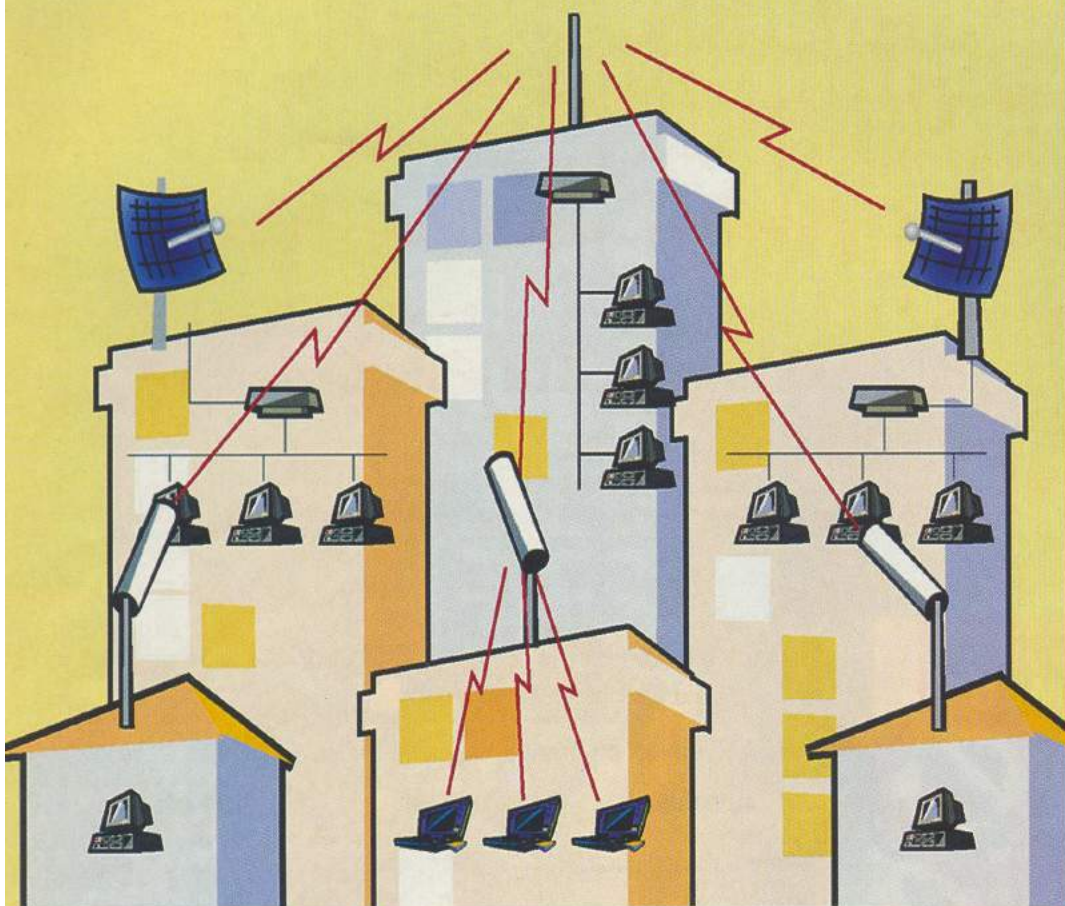
localitatea ..... județ/sector .....

cod poștal .....

Data..... Semnătura .....

SIGUR ȘI EFICIENT!

# Wireless Internet Access & Networking Fast and Easy



orinoco™

WaveACCESS



Lucent Technologies  
Bell Labs Innovations

Aplicatiile vor fi prezentate la:

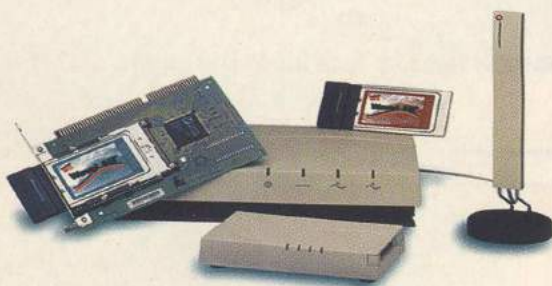


Computers and  
Electronics  
Romanian  
Fair • 2001

Pavilion 15, Stand 5036

## Think wireless.

Conectare radio de mare viteza  
in 2,4 GHz pentru retele VPN  
de **outdoor si indoor**



Marele Premiu  
pentru tehnologie



CERF  
2000

**11 Mb/s. 12 Km.**

- ✓ Conectare radio la internet
- ✓ Conexiuni punct la punct si punct la multipunct
- ✓ Retele de campus, tehnopol, incinte industriale, conectarea sediilor de banchi, firme
- ✓ Mediile dificil de cablat pentru cladiri istorice, muzeu
- ✓ Acces la retea pentru utilizatori de computere mobile



**AGNOR HIGH TECH**  
COMMUNICATIONS & COMPUTERS COMPANY

Tel: 340 54 57

340 54 58

340.54.59

Fax: 340 54 56

office@agnor.ro

www.agnor.ro



# Color Daewoo (DMQ - 2058TXT) șasiu CP315

## FIŞE DE DEPANARE

ing. M. Băşoiu

### Urmare din numărul precedent

#### 2. Rastru redus la o linie luminoasă orizontală la mijlocul ecranului („dungă pe burtă” în argoul depanatorilor).

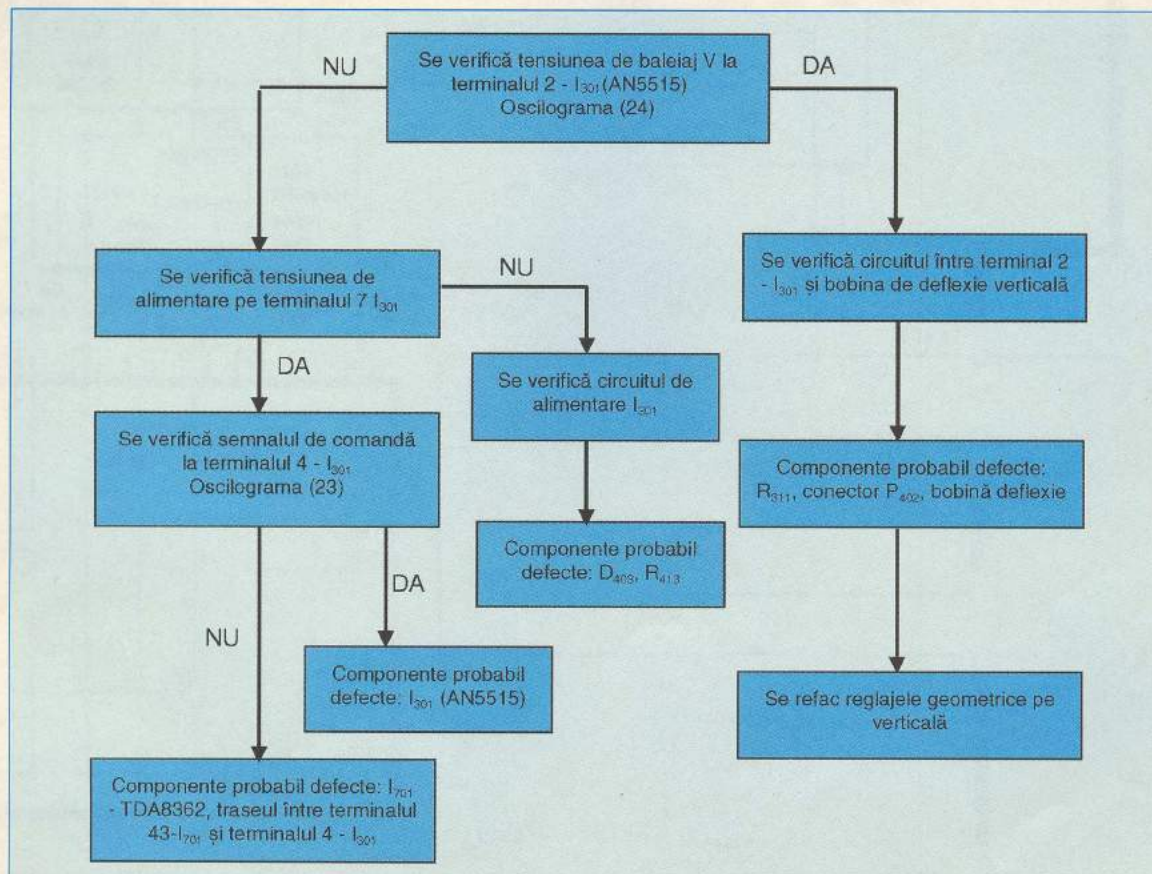
Referitor la acest simptom, pentru diagnosticarea defectiunii și depanare trebuie avute în vedere câteva considerente valabile pentru toate receptoarele TV clasice (cu tub cinescop):

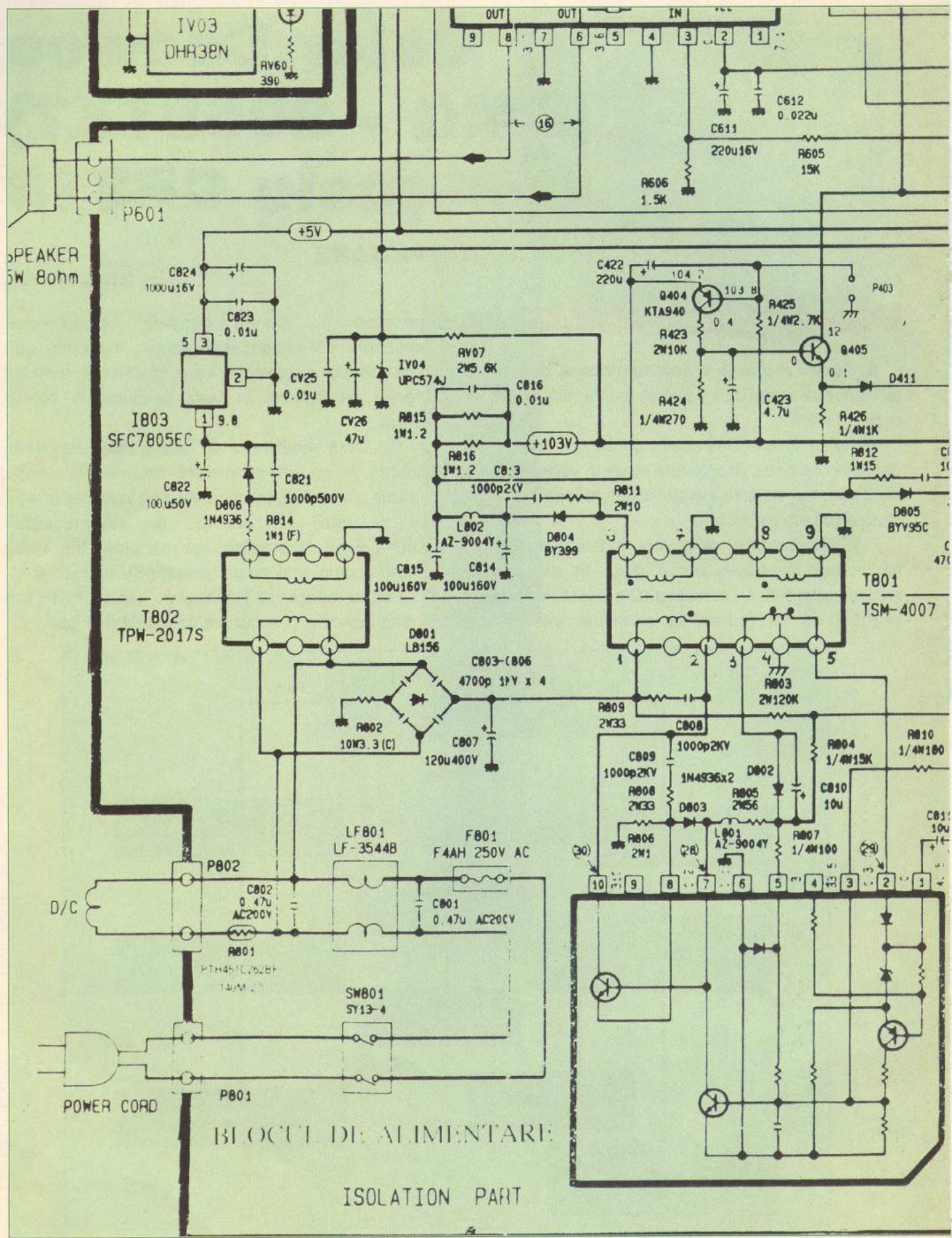
- Păstrarea unui timp mai îndelungat a liniei luminoase pe ecran poate duce la distrugerea luminoforului tubului cinescop. Din acest motiv, este esențial să se reducă la minimum intensitatea

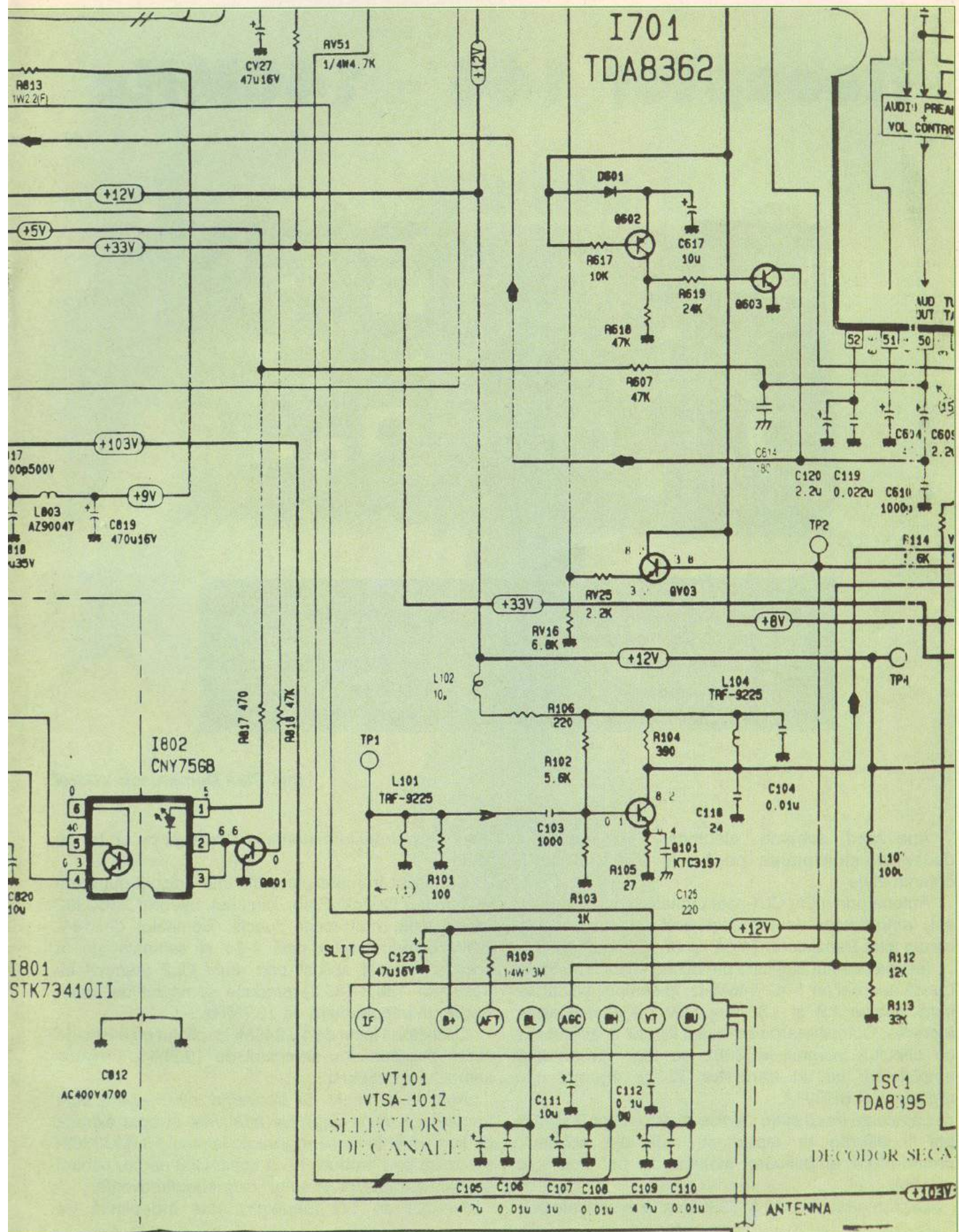
luminoasă pe durata depanării receptorului. Menționăm că receptoarele foarte moderne sunt prevăzute cu o protecție care blochează automat curentul de fascicul în lipsa tensiunii de baleaj vertical.

- Existenta impulsurilor de baleaj poate fi pusă în evidență și cu un instrument de măsură pentru tensiune alternativă, cu observația că valoarea (medie sau de vârf) va depinde de caracteristicile instrumentului. În practică, cel mai bine este să se măsoare comparativ cu un receptor TV funcțional.

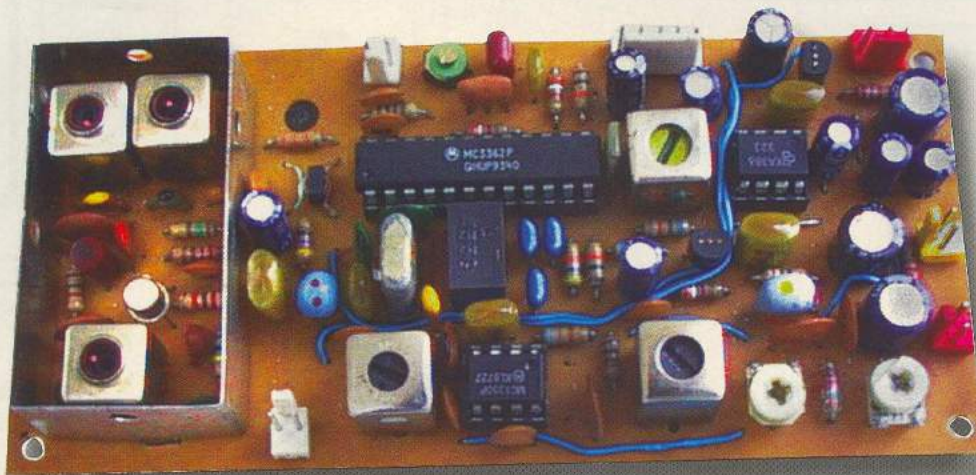
- Pentru receptorul TV Daewoo sasiu CP315 fișa de diagnosticare și depanare este dată mai jos.







# Receptor 144 - 146MHz



Se prezintă un receptor de concepție modernă cu performanțe electrice superioare și cu facilități deosebite în trafic.

A fost conceput ca element independent dar și cu evidente posibilități să intre în componența unui transceiver. Calitățile electrice sunt date de componentele utilizate, în special al circuitului integrat specializat MC3362.

ing. Paul Dumitrescu YO3HZ

Analizând schema electrică a receptorului deosebim structurarea pe funcții bine definite a câtorva etaje.

Antena prin mufa CL1 este cuplată practic primului etaj amplificator de radiofrecvență în componența căruia intră tranzistorul T1 de tip BF960 sau 40673.

Ieșirea acestui etaj este prevăzută cu un filtru care trece bandă acordată pe 144 - 146MHz, în componența căruia intră bobine L2 și L3, respectiv condensatoarele aferente. Compensarea atenuării filtrului și adaptarea cu circuitul integrat MC3362 se face cu un etaj amplificator cu un tranzistor T2 de zgomot mic recomandat BFR91A.

La aceste două etaje valorile rezistoarelor R3 și R6 pot fi diferite în raport cu cele din schemă, urmărindu-se amplificare maximă la cel mai mic zgomot.

Cuplarea cu circuitul MC3362 se face simetric prin

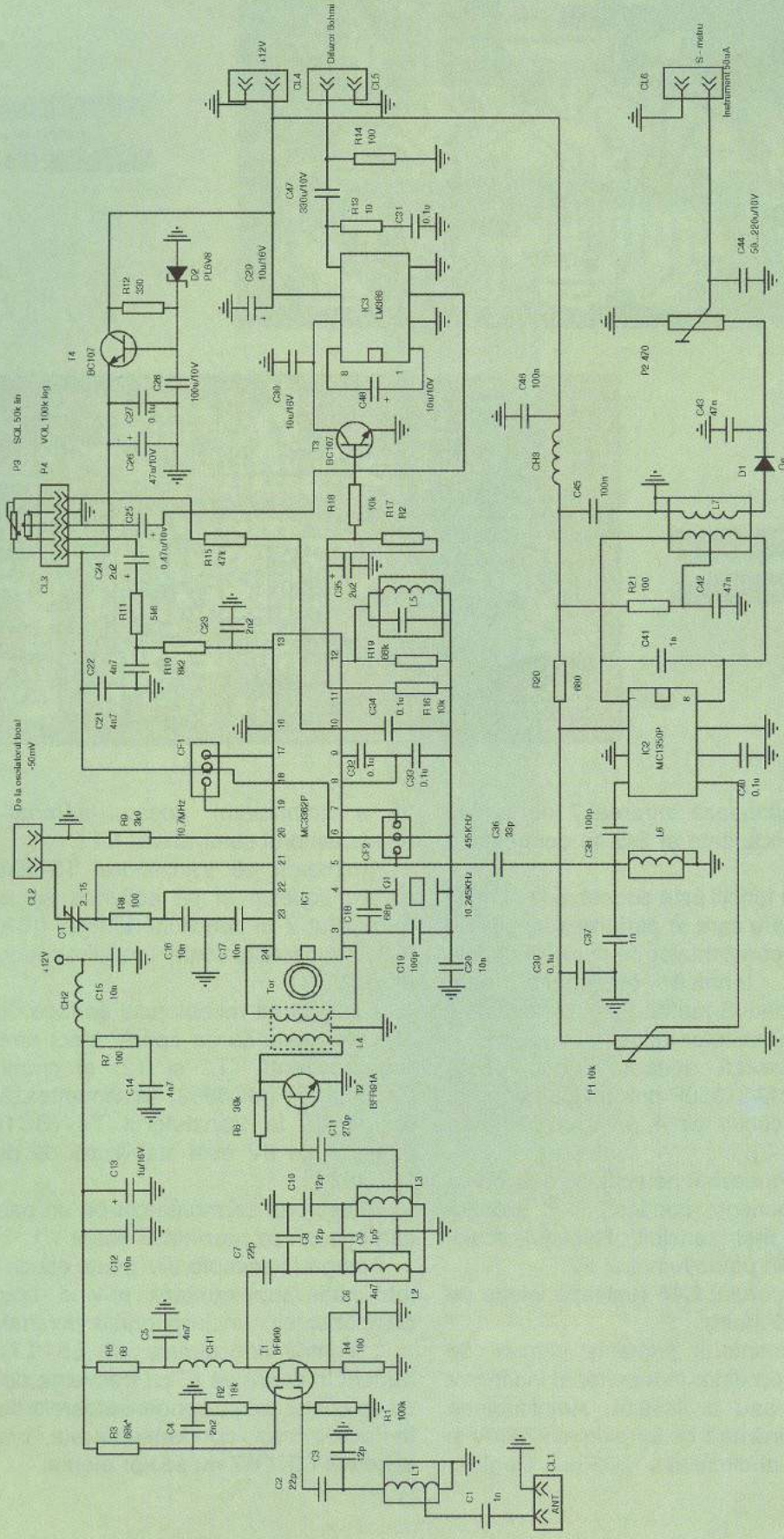
intermediul transformatorului L4 realizat pe un tor de ferită.

Cunoscut în mare parte din alte articole publicate în revista Conex Club, circuitul integrat MC3362 îndeplinește mai multe funcții. Semnalul de 144-146MHz primit între pinii 1-24 și semnalul de la oscilatorul local aplicat prin mufa CL2 (semnal cu frecvență 133,3-135,3) produce semnalul de primă frecvență intermediară de 10,7MHz.

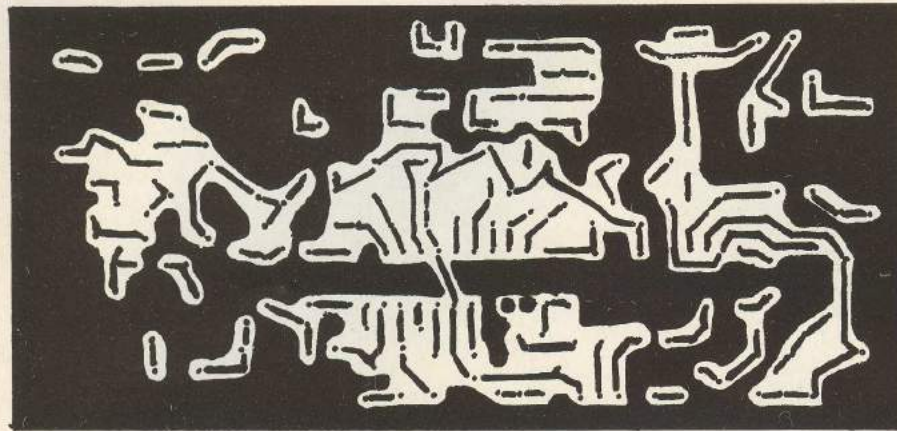
Oscilatorul local de 10,245MHz, pilotat cu cristal de cuarț, împreună cu semnalul de 10,7MHz produce semnalul de 455kHz.

Ambele semnale de frecvențe intermediare sunt trecute prin filtre ceramice adecvate și apoi extrasă audio frecvență ce se regăsește la pinul 13 (MC3362) și trimisă prin grupuri RC la cupla CL3 pentru control squelch și reglaj nivel amplificare audiofrecvență.

Funcția de SQ (squelch) este îndeplinită de

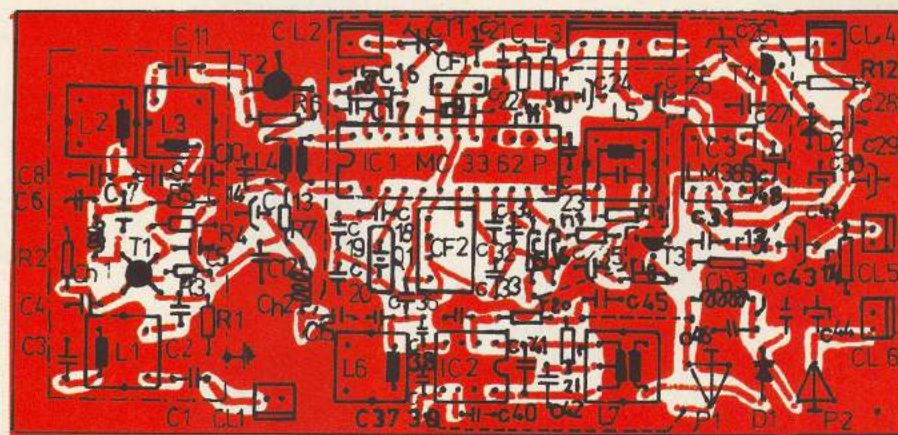


Rx 144 - 146MHz  
Schema electrică



Circuit imprimat  
- partea placată -  
scara 1:1

Dispunerea componentelor  
pe circuitul imprimat



tranzistorul T3 ce acționează intrarea 7 de la C13 (LM386). Pragul de eficacitate al SQ se controlează din potențiometrul P3.

Eficacitatea acestei funcții este deosebit de bună și impulsurile întâmplătoare care ar perturba receptia nu sunt sesizate datorită constantelor de timp din circuit.

O particularitate tehnică binevenită este posibilitatea instalării unui S-metru. Funcția aceasta îi conferă atrăgătoarele unui receptor industrial.

Etajul care realizează această funcție este construit cu C13 de tip MC1350P produs tot Motorola.

La intrarea acestui circuit, pin 4, prin C36 se aplică semnal de 455kHz (IF-2).

După amplificare urmează o detectie cu o diodă cu germaniu (D1), componenta continuă fiind aplicată unui instrument cât mai sensibil. Reglajul scalei (etalonarea) se face din potențiometrul P2.

Valoarea condensatorului C44 reglează viteza de răspuns a sistemului S-metru.

Reamintesc că receptorul primește semnal de heterodinare de la un oscilator independent indiferent dacă este un VFO sau o sinteză. Amplitudinea semnalului de heterodină va fi de aproximativ 50mV și se aplică pe pinul 21 al circuitului MC3362. Reglajul

fin a amplitudinii acestui semnal se face din condensatorul semivariabil CT1.

Aminteam că tranzistorul T3 este comutatorul pentru squelch și că acțiunea sa este plasată la terminalul 7 al circuitului LM386 (IC3). Acest circuit IC3 îndeplinește toate funcțiile necesare audieri în difuzor.

Alimentarea receptorului se face de la o sursă de 12V, tensiune ce se aplică direct amplificatorului de radiofrecvență (T1 și T2) și circuitelor IC2-IC3. Circuitul IC1 (MC3362) se alimentează cu 5V care se obține de la tranzistorul T4 (BC107). Valoarea tensiunii de 5V este stabilizată de dioda D2 de tip PL6V8Z.

Receptorul se montează pe un cablaj imprimat al căruia desen se prezintă la scara 1/1.

Fotografia receptorului poate aduce constructorului informații suplimentare privind tipul și plasarea componentelor, inclusiv părțile ecranate.

\* Pentru inductanțele L5, L6 (L7) se pot folosi transformatoare de IF cu frecvență de acord 455kHz de tip comercial cu condensatoarele de acord incluse, în acest caz condensatoarele corespunzătoare schemei C37C47 nu se vor monta.

Tabelul 1

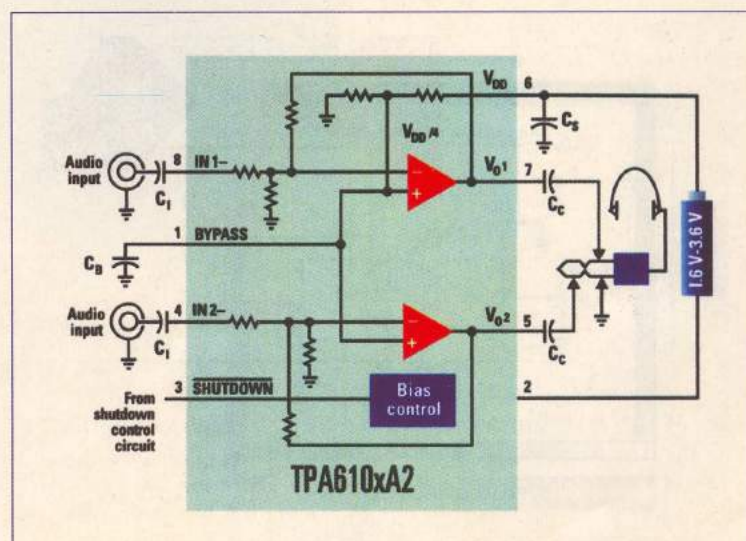
| Nr. | L   | Nr. spire    | o sârmă [mm] | o carcăsă [mm] | Observații (câte în mm)                                |
|-----|-----|--------------|--------------|----------------|--|
| 1   | L1  | 3,75 pas 0,5 | 0,6CuAg      | 5              | Priză la 0,75 sp - antenă;<br>Ecran tablă 10 x 10 x 12 |
| 2   | L2  | 3,75 pas 0,5 | 0,6CuAg      | 5              | Ecran 10 x 10 x 12                                     |
| 3   | L3  | 3,75 pas 0,5 | 0,6CuAg      | 5              | Priză la 2,5 spire;<br>Ecran 10 x 10 x 12              |
| 4   | L4  | 2/1          | 0,45CuEm     |                | Miez ferită pentru 150MHz tip H sau 8                  |
| 5   | L5  | 70           | 0,09         | masă ferită    | pe carcăsă pentru 455kHz (*)                           |
| 6   | L6  | 70           | 0,09         | masă ferită    | Pe carcăsă pentru 455 (*)                              |
| 7   | L7  | 2 x 70       | 0,09         | masă ferită    | Pe carcăsă IF455;<br>Priză la spira 35 (*)             |
| 8   | Ch1 |              |              |                | Soc miniatură cu inductanță de 1µH                     |
| 9   | Ch2 |              |              |                | Soc cu inductanță de aproximativ 100µH                 |
| 10  | Ch3 |              |              |                | Soc cu inductanță de aproximativ 100µH                 |

NEWS . NEWS

## TPA 610xA2

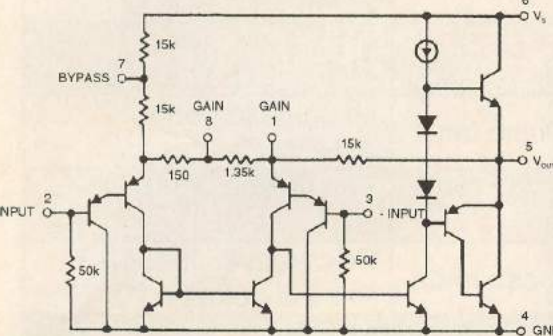
În seria circuitelor analogice, Texas Instruments produce circuitul TPA610xA2 care este un amplificator audio stereo ce funcționează cu tensiuni de alimentare foarte mici cuprinse între 1,6V și 3,6V, situație în care poate debita o putere 50mW RMS pe fiecare canal, sarcina fiind de  $16\Omega$ .

Alimentat cu 3,3V se obține 40mW RMS pe  $16\Omega$  cu distorsiuni de 0,08% la 1kHz și mai mici de 0,2% în toată banda audio 20Hz...20kHz.

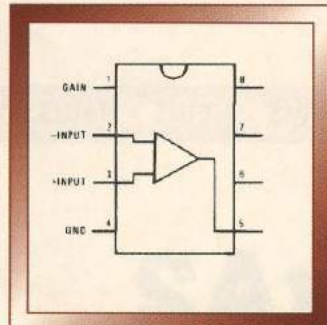


# AF - Catalog

## LM-386



Schema electrică internă



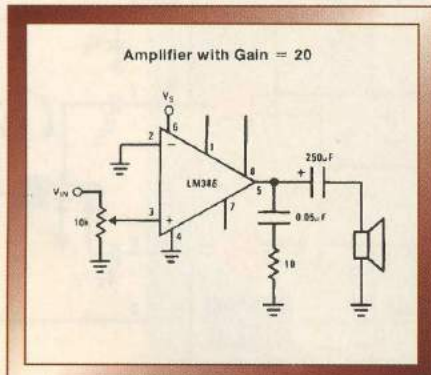
Conexiuni terminale

Circuitul integrat LM386, produs de National Semiconductor, este un amplificator de putere pentru gama de audiofrecvență special proiectat ca să poată fi alimentat cu o plajă largă de tensiune, respectiv între 4 și 18V. Prin modul de interconectare, amplificarea în tensiune poate avea valori între 20 și 200.

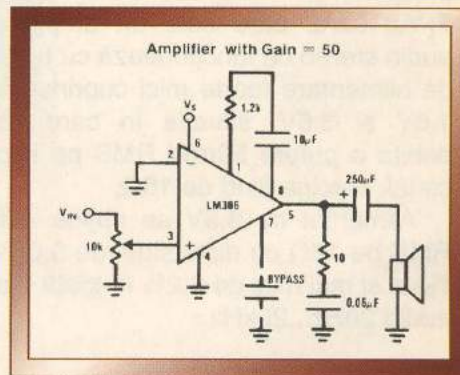
Ca aplicații este recomandat în radioreceptoare AM-FM, în sistemele minicasetofoane, în receptoare TV, comenzi servomecanisme etc.

La un consum de curent tipic de 4mA funcție de tensiunea de alimentare, puterea electrică debitată este cuprinsă între 250mW și 1 000mW cu distorsiuni armonice ce nu depășesc 10%.

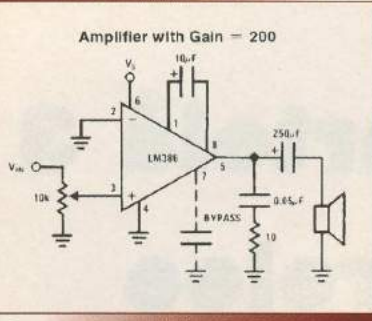
După cum se observă și din schema electrică internă, la circuitul LM386, amplificarea poate fi modificată după cum sunt interconectați pinii 1 și 8.



Amplificator câștig 20

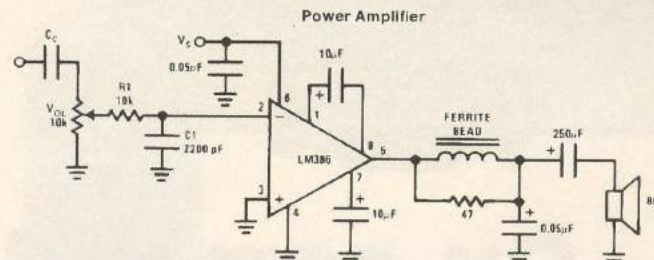


Amplificator câștig 50



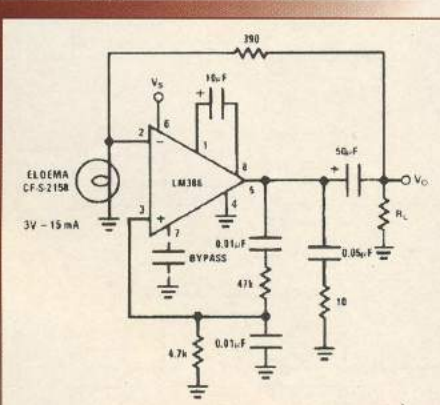
Amplificator câștig 200

Dacă acești pini nu sunt conectați în circuit rămâne rezistorul de 1,35k $\Omega$  și amplificarea este de 20(28)dB, dar dacă între aceste terminale se conectează un condensator, amplificarea poate atinge 200(46)dB. Circuitul LM386 este prezentat în capsulă Dual in Line cu 8 terminale.

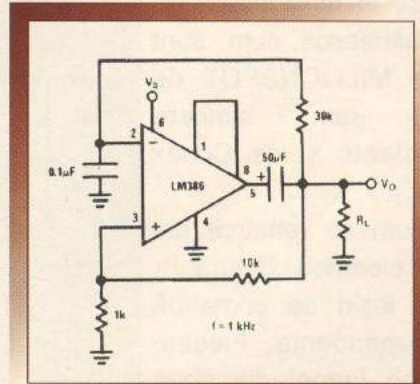


Schema aplicării generale

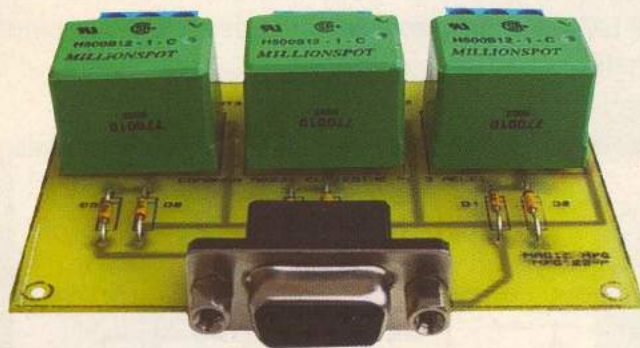
| Parameter   | Conditions  | Min               | Typ                | Max | Units            |
|---|---|-------------------|--------------------|-----|------------------|
| Operating Supply Voltage ( $V_s$ )<br>LM386N-1, -3, LM386M-1<br>LM386N-4                            |   | 4                 |                    | 12  | V                |
|   |   | 5                 |                    | 18  | V                |
| Quiescent Current ( $I_Q$ )   | $V_s = 6V, V_{IN} = 0$  | 4                 | 8                  |     | mA               |
| Output Power ( $P_{OUT}$ )<br>LM386N-1, LM386M-1<br>LM386N-3<br>LM386N-4                            | $V_s = 6V, R_L = 8\Omega, THD = 10\%$<br>$V_s = 9V, R_L = 8\Omega, THD = 10\%$<br>$V_s = 16V, R_L = 32\Omega, THD = 10\%$ | 250<br>500<br>700 | 325<br>700<br>1000 |     | mW               |
| Voltage Gain ( $A_v$ )  | $V_s = 6V, f = 1kHz$<br>10 $\mu$ F from Pin 1 to 8  | 26<br>46          |                    |     | dB               |
| Bandwidth (BW)  | $V_s = 6V, \text{ Pins 1 and 8 Open}$   | 300               |                    |     | kHz              |
| Total Harmonic Distortion (THD)   | $V_s = 6V, R_L = 8\Omega, P_{OUT} = 125mW$<br>$f = 1kHz, \text{ Pins 1 and 8 Open}$                                       | 0,2               |                    |     | %                |
| Power Supply Rejection Ratio (PSRR)   | $V_s = 6V, f = 1kHz, C_{BYPASS} = 10\mu F \text{ Pins 1 and 8 Open, Referred to Output}$                                  | 50                |                    |     | dB               |
| Input Resistance ( $R_{IN}$ )<br>Input Resistance ( $R_{IN}$ )<br>Input Bias Current ( $I_{BIAS}$ ) | $V_s = 6V, \text{ Pins 2 and 3 Open}$   | 50<br>250         |                    |     | k $\Omega$<br>nA |



Semnal sinusoidal

Oscilatoare  
 $f = 1kHz$ 

Semnal dreptunghiular



# Cartelă 3 relee pentru PC

## Cu comanda RS232

ing. Constantin Croif Valentin

Prezentăm modul cum se poate realiza o interfață simplă de comandă software prin PC de la distanță a unor elemente cum ar fi: portile electrice, ușile de la garaje, control acces supraveghet sau supraveghere funcționare periferice.

Cartela oferă 3 ieșiri pe relee de 5A (sau 10A) cu o pereche de contacte normal închis - normal deschis (NI/ND) și se alimentează direct din portul serial.

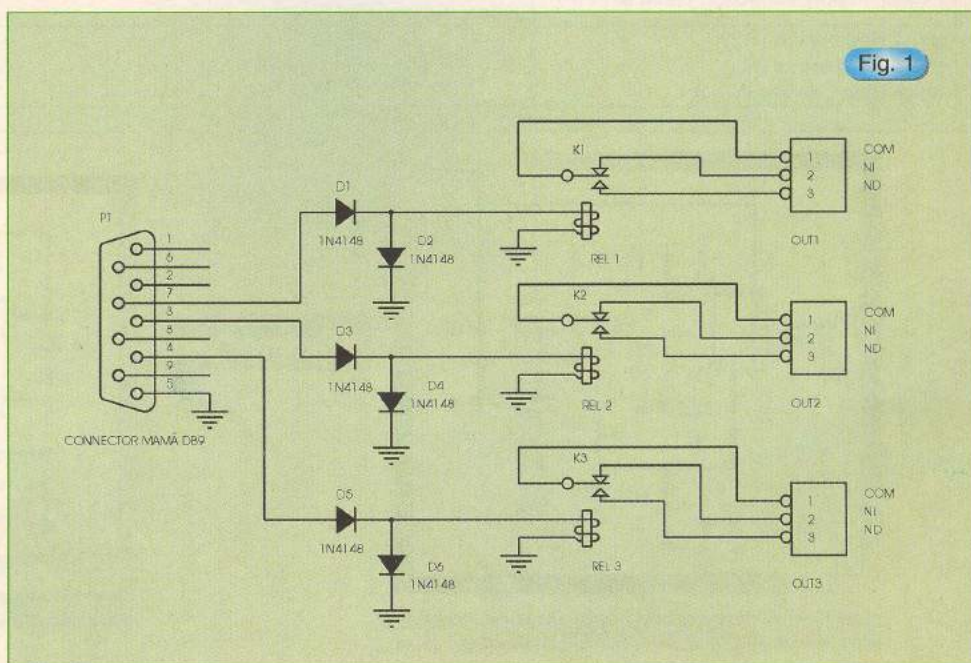
Interfața pentru PC prezentată este o adaptare după revista "Interfaces PC" cu preluarea softului (gratuit) original prezentat acolo. Cablajul a fost reproiectat pentru a fi utilizat cu relee care se găsesc în mod curent pe piața românească, cum sunt modelele MILLIONSPOT de 12V/5A sau similare (comercializate și de Conex Electronic).

Așa cum se remarcă din schema electrică (figura 1), cele trei ieșiri de comandă sunt independente. Fiecare canal este format din două diode și un releu. De asemenea, se remarcă lipsa

tensiunii externe de alimentare, portul serial furnizând curentul necesar pentru fiecare canal. Ieșirile portului oferă de regulă și limitare în curent.

Diodele sunt utilizate pentru redresare și protecție, ținând cont de formele și nivelurile semnalelor de pe port.

Cartela se conectează la portul serial al PC-lui prin intermediul unui cablu RS232, care se leagă la mufa DB9 sau direct prin conectarea plăcii la mufa DB9 tată a portului.



Pentru cele 3 ieșiri sunt rezervate terminalele bloc, la care sunt conectate bornele releului NI, ND și COM (vezi desenul de amplasare al componentelor).

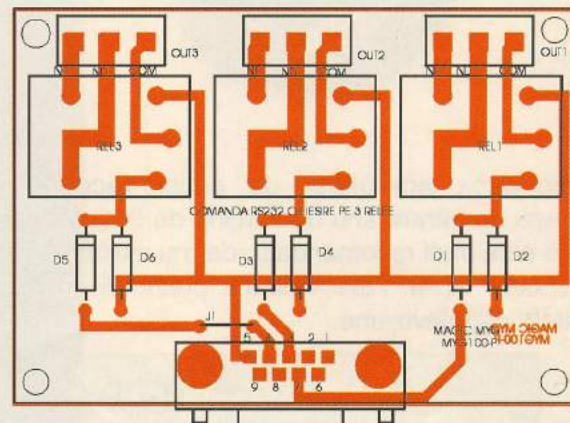
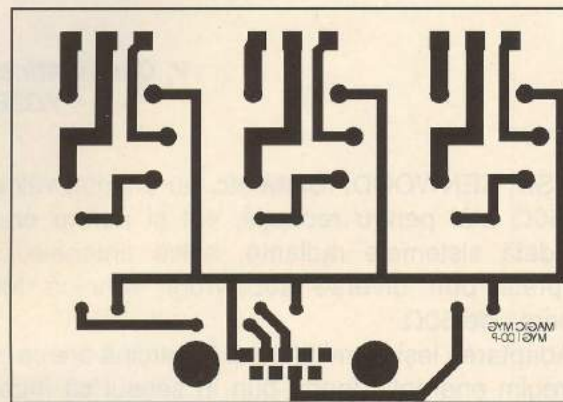
Diodele sunt de comutație și pot fi de tip 1N4148. Pe cablaj se monteză o mufă mamă cu 9 pini tip Db9. Se pot utiliza și relee de tip SUN EARTH RS-1210 care are aceeași mască ca și relee MILLIONSPOT.

Softul pentru comanda plăcii este gratuit și realizat în Visual Basic 3. O fereastră grafică ușor de intuit și

utilizat indică starea fiecărui contact al releului, schimbarea făcându-se prin intermediul unui buton virtual de tip «on/off».

Se poate selecta oricare din porturile seriale disponibile ale calculatorului.

*Cei care doresc realizarea montajului pot obține softul de la redacție sau prin e-mail de la croif@rol.ro. Capacitatea arhivei este de cca. 700K.*



\* Proiectare circuite electronice și cablaje imprimante;

\* Configurare și instalare de alarmă, antiincendiu, control acces și supraveghere video

[www.magic.go.ro](http://www.magic.go.ro)

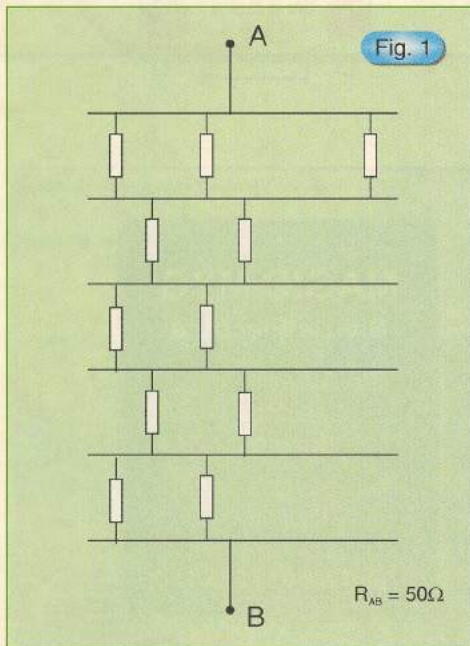
**MAGIC MYG**  
Divizia Electrică  
Str. Ardeziei nr.12  
sector 1  
București  
Tel.: 01 / 233 11 61  
092 / 46 28 17  
092 / 24 11 96  
Tel./Fax: 01 / 233 11 25



# Rezistență de sarcină

V. Constantinescu  
Y03BOE

Majoritatea aparatelor de emisie-recepție au rezistențe de intrare sau de sarcină de  $50\Omega$ . Această valoare este mult recomandată, dar nu exclude și alte valori, cum ar fi  $75\Omega$  valoare prezentă în toate aparatele de televiziune.



Paralel cu introducerea acestei caracteristici la aparat, adică impedanța de  $50\Omega$ , au fost construite și cabluri coaxiale cu această impedanță caracteristică. Este cunoscut cablul cel mai folosit în radiocomunicații RG-213 care are impedanță caracteristică de  $50\Omega$ .

Firmele producătoare de transceive, cum ar fi:

YAESU, KENWOOD, ICOM etc. au adaptat valoarea de  $50\Omega$  atât pentru recepție, cât și pentru emisie. Totodată sistemele radiante, adică antenele, sunt adaptate prin diverse subterfugii tehnice tot la valoarea de  $50\Omega$ .

Adaptarea ieșirii emițătorului la sarcină are ca efect un regim energetic foarte bun în sensul că întreaga energie este radiată.

Atunci când nu există adaptarea etajului final de putere RF cu sarcina o parte din energie este reflectată și randamentul scade proporțional.

Când se fac reparații sau reglaje la un etaj final de putere, acesta trebuie cuplat la un consumator care trebuie să prezinte o sarcină pur rezistivă și cu valoarea egală cu impedanța de ieșire.

Procurarea unei astfel de sarcini nu este la îndemâna multor radioamatori fiind un obiect scump, de aceea voi prezenta modul practic cum pot să-și construiască singuri un astfel de accesoriu cunoscut sub denumirea de Rezistență de sarcină.

Această construcție poate fi realizată cu rezistoare din peliculă metalică sau din carbon și care nu prezintă inductanță parazită.

Impedanța finală va trebui să fie  $50\Omega$  și totodată să suporte o putere de care avem nevoie, în cazul cel mai frecvent  $100\Omega$ . Multe construcții folosesc două plăci între care sunt plasate mai multe rezistoare. Soluția este evident simplă, dar capacitatea dintre cele două plăci - suport se face puternic simțită la  $145MHz$  și  $432MHz$ .

Soluția adaptată constă într-un montaj paralel-serie electric și sub formă cilindrică.

Dacă se couplează în paralel 10 rezistoare de  $100\Omega$  se obține o rezistență de  $10\Omega$ . Cum fiecare rezistență admite o putere disipată de  $2W$  rezultă că rezistorul

echivalent va avea  $10\Omega$  și va fi aptă a disipa 20W.

Montând în serie 5 rezistoare astfel obținute se va realiza o sarcină cu  $R = 50\Omega$  și  $P = 100W$  adică ceea ce urmăream.

Practic se construiesc 6 cercuri din tablă cositorită după dimensiunile din *figura 2*.

La patru cercuri se dau câte 20 de găuri cu diametrul de 1,2mm, iar la două cercuri se dau numai câte 10 găuri. Găurile vor fi date la distanțe egale. În aceste găuri se introduc terminalele de la rezistoare și se sudează. De reținut că la primul cerc se vor respecta numai cotele diametrului exterior ( $\varnothing = 85\text{mm}$ ) și a celui pe care se plantează rezistoarele ( $\varnothing = 65\text{mm}$ ) dar decuparea interioară va avea dimensiuni funcție de mufa folosită. Acest prim cerc este electric cuplat la masa mufei, deci el reprezintă carcasa. Ultimul cerc identic cu celelalte este cuplat la punctul cald al mufei prin intermediul unui con confectionat tot din tablă. Baza conului se sudează la ultimul cerc și trecând prin interiorul celorlalte cercuri are vârful sudat la firul central al mufei.

În felul acesta se face adaptarea de impedanță (*figura 3*). După confectionare, întreg ansamblul poate fi introdus într-o cutie cilindrică cum sunt cele de la vopsea, condiția ca între peretii cutiei și cercurile cu rezistoare să fie de cel puțin 20mm.

Ca această sarcină să poată lucra la puteri mai mari (500-800W) în cutie se va introduce ulei de

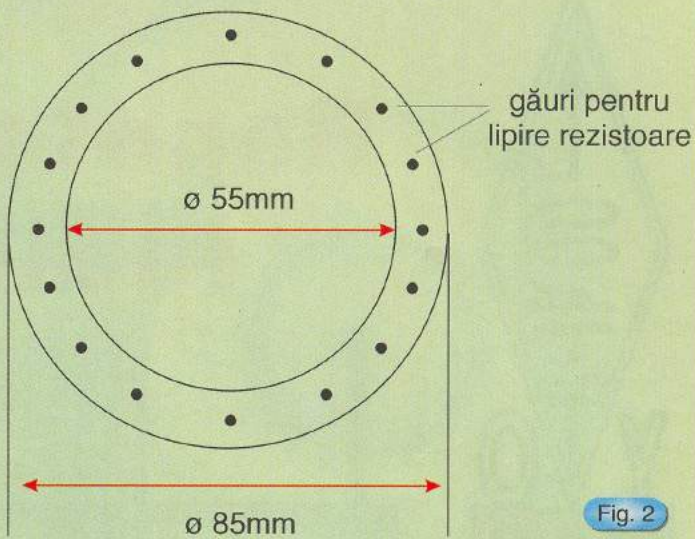


Fig. 2

Cercurile din tablă

transformator sau și mai eficient se va turna parafină topită (aceasta se va solidifica pe întreg ansamblul).

Practic această rezistență de sarcină poate fi făcută și din rezistoare cu alte valori ale rezistenței.

Astfel, dacă sunt utilizate rezistențe de  $130\Omega$ , sarcina va avea numai 4 sectoare și zece rezistoare și impedanța va fi  $52\Omega$ , valoare admisă în clasa de precizie de 5%.

În fotografie din titlu este prezentată o sarcină cu 4 sectoare.

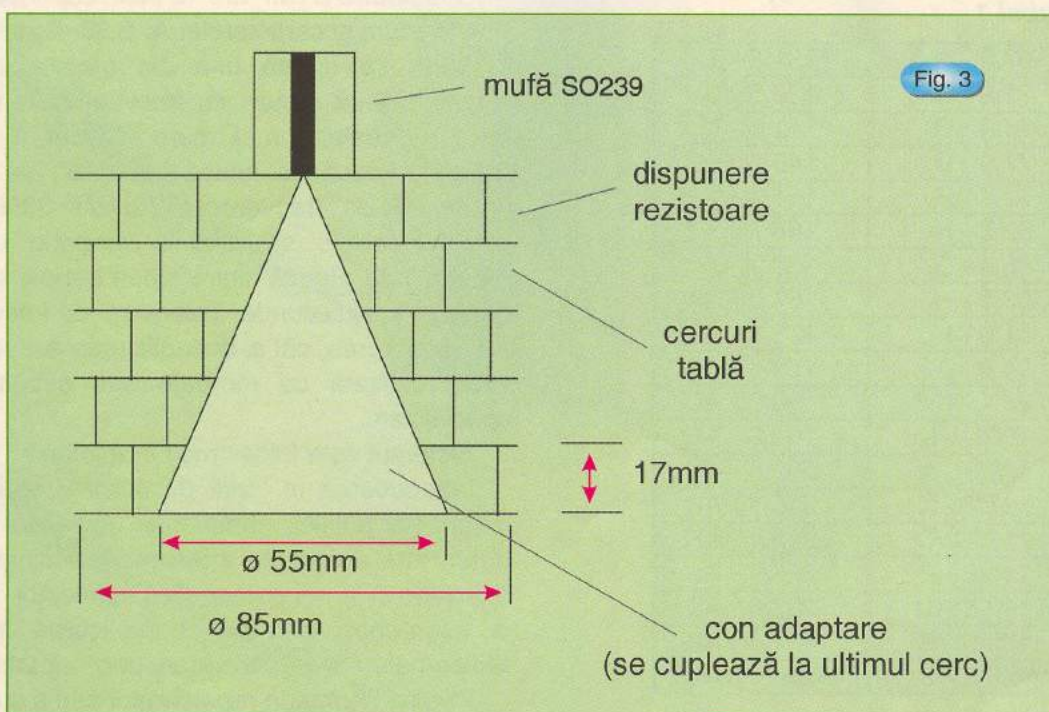


Fig. 3

Secțiune prin rezistență de sarcină



# Repetoare pentru radioamatori

ing. Vasile Ciobăniță  
YO3APG

Federatia Romana de Radioamatorism

Articolul despre repetoarele de radioamatori, publicat în revista Conex Club nr. 3/2001, a trezit interes printre cititori, de aceea revenim cu o serie de detalii privind standardele și recomandările IARU referitoare la frecvențele din sistemele CTCSS și DTMF, și notarea canalelor de FM din gama undelor ultrashurte. Aceste norme au fost stabilite încă de la Conferința IARU Regiunea 1, care a avut loc în 1996 la Tel Aviv. Conferința din 1999, de la Lilehamer – Norvegia, le-a reconfirmat.

Astfel, în *tabelul 1* se arată frecvențele și combinațiile de litere, care le desemnează în limbajul curent, folosite pentru sistemul CTCSS (Continuous Tone-Controlled Squelch System). Frecvențele trebuie să aibă o toleranță de max  $\pm 1\%$ .

*Tabelul 1*

|           |            |
|-----------|------------|
| 67.0 - A  | 131.8 - T  |
| 71.9 - B  | 136.5 - U  |
| 74.4 - C  | 141.3 - V  |
| 77.0 - D  | 146.2 - W  |
| 79.7 - E  | 151.4 - X  |
| 82.5 - F  | 156.7 - Y  |
| 85.4 - G  | 162.2 - Z  |
| 88.5 - H  | 167.9 - AA |
| 91.5 - I  | 173.8 - AB |
| 94.8 - J  | 179.9 - AC |
| 97.4 - K  | 186.2 - AD |
| 100.0 - L | 192.8 - AE |
| 103.5 - M | 203.5 - AF |
| 107.2 - N | 210.7 - AG |
| 110.9 - O | 218.1 - AH |
| 114.8 - P | 225.7 - AI |
| 118.8 - Q | 233.6 - AJ |
| 123.0 - R | 241.8 - AK |
| 127.3 - S | 250.3 - AL |

Frecvențe și notări pentru sistemul CTCSS

## ANNEX C

*Tabelul 2* arată corespondența dintre tastele unui sistem DTMF (Dual Tone Multi Frequency) și perechile de frecvențe generate.

O tastatură DTMF are 12 taste cuprinzând cifrele: 0 - 9, precum și caracterele: A, B, C, D, # și \*.

Când se apasă una din taste sunt generate simultan două tonuri cu frecvențe diferite, una mai mică și cealaltă mai mare decât 1 000Hz. De exemplu, dacă se apasă tasta "5", va fi generată perechea de frecvențe: 770Hz/1 336Hz. Fiecare "burst" trebuie să aibă o lungime de 65...105 milisecunde. Pauza dintre tonuri trebuie să fie de cel puțin 200 milisecunde. Toleranța de frecvență: 1,5%. Atât generarea, cât și decodificarea acestor frecvențe este realizată cu montaje sau circuite integrate specializate.

Sistemul este folosit mult în telefonia.

Introducerea în țară de numere speciale pentru alarmarea poliției, pompierilor, spitalelor sau a altor organisme cu rol de intervenție în situații de criză, deschide și la noi perspectiva conectării repetoarelor la asemenea sisteme și implicarea mai mare a radioamatorilor în rezolvarea unor situații de urgență.

Pentru comanda repetoarelor sau a cutiilor poștale vocale (voice-mailboxes), standardele IARU

Tabel 2

| Hz  | 1209 | 1336 | 1477 | 1633 |
|-----|------|------|------|------|
| 697 | 1    | 2    | 3    | 4    |
| 770 | 4    | 5    | 6    | B    |
| 852 | 7    | 8    | 9    | C    |
| 941 | *    | 0    | #    | D    |

Perechile de frecvențe DTMF

precizează următoarele comenzi:

- \* Deschidere repetor (la fel cu sistemul de ton de 1750Hz);
- \* + 0 Deschidere repetor și transmitere indicativ, QTH-locator, eventual frecvență CTCSS;
- \* + 1..9 Funcții adiționale (control squelch, nivel putere, etc).

Acste funcții se pot extinde, când este vorba de situații mai complexe (interconectări de repetoare, cutii poștale vocale sau interconectarea cu centrale telefonice din cadrul unor sisteme de intervenție în

cazul unor situații de urgență).

IARU a adoptat de asemenea un nou sistem de notare a canalelor vocale de FM din benzile VHF/UHF. Astfel, pentru fiecare bandă este desemnată o literă după cum urmează:

|   |        |
|---|--------|
| F | 51MHz  |
| V | 145MHz |
| U | 430MHz |

Fiecare literă este urmată de un număr format din două cifre (pentru benzile de 50 și 144MHz) și respectiv trei cifre pentru banda de 430MHz, pentru a desemna un anumit canal.

Dacă acest canal este folosit ca ieșire pentru un repetor, în fața literei arătate mai sus se va introduce un R.

În banda de 50MHz numerotarea canalelor începe cu == de la 51MHz și crește progresiv pentru fiecare 10kHz.

De exemplu F02, reprezintă canalul simplex cu

| Indicativ | Amplasament      | QTH locator | Canal                        |
|-----------|------------------|-------------|------------------------------|
| YO2A      | Vf. Țarcu        | KN15GG      | RV61<br>(denumire veche R6x) |
| YO2A      | Semenic          | KN15AE      | RV51                         |
| YO2D      | Nucet – Deva     | KN15KV      | RV48                         |
| YO2P      | Parâng           | KN15SI      | RV58                         |
| YO2S      | Arad             | KN06PE      | RV62                         |
| YO3D      | București        | KN34BJ      | RV50                         |
| YO4A      | Topolog          | KN44CU      | RV58                         |
| YO4J      | Constanța        | KN44HE      | RV52                         |
| YO4S      | Brăila           | KN35XG      | RV48                         |
| YO5B      | Osoiu            | KN16FX      | RV60                         |
| YO5E      | Feleac – Cluj    | KN16TS      | RV63                         |
| YO5L      | Râmeti           | KN16IT      | RV60                         |
| YO5N      | Satu Mare        | KN17KS      | RV60                         |
| YO5O      | Oradea           | KN07XB      | RV54                         |
| YO5S      | Mezeș            | KN17ME      | RV56                         |
| YO5W      | Igniș            | KN17UR      | RV49                         |
| YO6A      | Harghita         | KN26RJ      | RV50                         |
| YO6F      | Tg. Mureș        | KN26GM      | RV54                         |
| YO6M      | Mediaș           | KN25EN      | RV59                         |
| YO7I      | Craiova          | KN14VI      | RV60                         |
| YO7M      | Cozia            | KN25EM      | RV58                         |
| YO7Z      | Câmpulung Muscel | KN25MG      | RV60                         |
| YO8C      | Călimani         | KN27OD      | RV52                         |
| YO8N      | Ceahlău          | KN26XX      | RV48                         |
| YO8S      | Suceava          | KN37DN      | RV52                         |
| YO8V      | Vaslui           | KN36UP      | RV52                         |
| YO9A      | Bucegi           | KN25RK      | RV56                         |
| YO9       | Blăstria-BZ      | KN35HB      | RV61                         |
| YO9C      | Babele           | KN25RK      | RV48                         |
| YO9K      | Călărași         | KN34RE      | RV50                         |
| YO9P      | Lespezi – DB     | KN25PG      | RV64                         |

frecvența de 51.020kHz și reespectiv 51.510kHz pentru F51.

RF79 va desemna un repetor cu frecvență de ieșire egală cu 51.790 kHz.

În banda de 2m, numerotarea începe de la 145MHz, iar distanța între canale este de 12,5kHz.

De exemplu V08 va desemna canalul cu frecvență egală cu 145.100, iar V48 canalul simplex de 145.500kHz.

RV48 codifică repetorul cu frecvență de ieșire 145.600kHz, adică vechiul R0.

În banda de 430MHz, ecartul între canale este tot 12,5kHz, iar numerotarea începe chiar de la 430MHz. Câteva exemple edificatoare, privind acest sistem de notare:

**U280** Canal simplex cu frecvență de 433.500MHz (vechea denumire era SU20)

**RU692** Repetor cu frecvență de ieșire 438.650MHz (denumire veche R70)

Mentionăm că decalajul între frecvența de emisie și recepție la repetoarele din banda de 430MHz este 7,6MHz, valoare ce înlocuiește vechiul sistem cu 1,6MHz, ușurând astfel mult sarcina filtrelor duplexoare și crescând sensibilitatea și zona de acoperire. La noi în țară repetoare în 430MHz sunt puține. Funcționează bine cele de la Arad și Tg.

Mureș (ambele pe RU 752 – 431.800-439.400kHz) și sunt în curs de punere în funcție după obținerea licențelor de la IGC, cele din Păltiniș, Istrița – BZ și București.

Principalele repetoare de radioamatori instalate în România ce funcționează în banda de 2m.

Datorită unor probleme tehnice pot exista situații când unele din aceste repetoare au intreruperi temporare. Există și repetoare autorizate care nu au fost sau nu mai sunt instalate, cum este cazul repetorului de la Focșani- YO4A, Baia Mare-YO5C, Neamț -YO8G.

Întreținerea rețelei de repetoare cere eforturi mari din partea federației, radiocluburilor în zona cărora se află, precum și din partea unui număr mare de amatori mai mulți sau mai puțin cunoscuți, care de multe ori în loc de mulțumiri primesc critici sau chiar sanctiuni.

Toți cei care contribuie cu ceva la instalarea și întreținerea unor asemenea stații utile pentru colectivitate, merită cele mai deosebite aprecieri. Dacă o singură dată, cu ajutorul unui repetor a fost salvată o viață de om – vezi cazurile cu repetoarele de la Babele și Vf. Omu – atunci toate eforturile capătă sens, greutățile nu mai contează.

## CALENDAR FRR

La Iași în zilele de 24-26 august, Federația Română de Radioamatorism, în colaborare cu Comisia Județeană de Radioamatorism Iași, organizează "Simpozionul YO – 2001" și „Campionatul Național de Creăție Tehnică“.

Invităm cititorii revistei Conex Club să participe cu lucrări la acest campionat. Lucrările constau în realizări practice care trebuie să se încadreze în următoarele două domenii:

a) Aparatură de trafic radio, aparatură de măsură, antene, soft, anexe, destinate lucrului în benzile de unde scurte, deci pentru frecvențe mai mici de 30MHz;

b) Aceeași tematică, dar pentru domeniul undelor ultrascurte, deci frecvențe mai mari de 30MHz.

Lucrările vor fi funcționale și vor fi însoțite de o documentație tehnică. Cele mai valoroase vor fi premiate și vor putea fi publicate în revista federației – Radiocomunicații și radioamatorism sau în revista Conex Club.

Informații suplimentare la F.R.Radioamatorism

Tel.: 01-315.55.75 sau la redacția Conex Club.

# PA - 25W

## cu MOSFET

La solicitarea radioamatorilor privind utilizarea tranzistoarelor MOSFET de putere în montaje RF presentăm acest articol.

Randamentul ridicat al tranzistoarelor MOSFET de putere și timpii mici de comutare le impune și în construcția amplificatorului de radiofrecvență.

Amplificatorul a cărui schemă o oferim folosește tranzistoare de tip IRF510-IRF511 sau MTP4N08 și poate lucra CW și SSB, deci este liniar. Dacă este alimentat cu o tensiune de 25V, excitat cu 1W se obțin 25W în banda 1,8-7MHz. De mare importanță este stabilirea regimului de funcționare și anume, curentul de repaus. Astfel, de la tensiunea de alimentare printr-un rezistor de  $1\text{k}\Omega$  se montează o diodă Zener de 4,7V/0,5W și de la potențiometrul de  $4,7\text{k}\Omega$  se aplică

portilor o tensiune a cărei valoare stabilește un curent de repaus cu valoarea de aproximativ 250mA. Transformatorul TR1 se confectionează pe un tor cu punct alb cu diametrul interior de 10mm pe care se bobinează trifilar 11 spire cu sârmă de CuEm 0,5. Celelalte două transformatoare se construiesc pe același tip de tor (orientativ diametrul exterior 20, diametrul interior 10, lățime 10) și fiecare are câte 7 spire bifilare cu sârmă CuEm 0,6. Punctele aplicate la transformatoare indică începutul fiecărei înfășurări. Tranzistoarele se fixează pe radiatoare de căldură.

Ieșirea transformatorului TR3

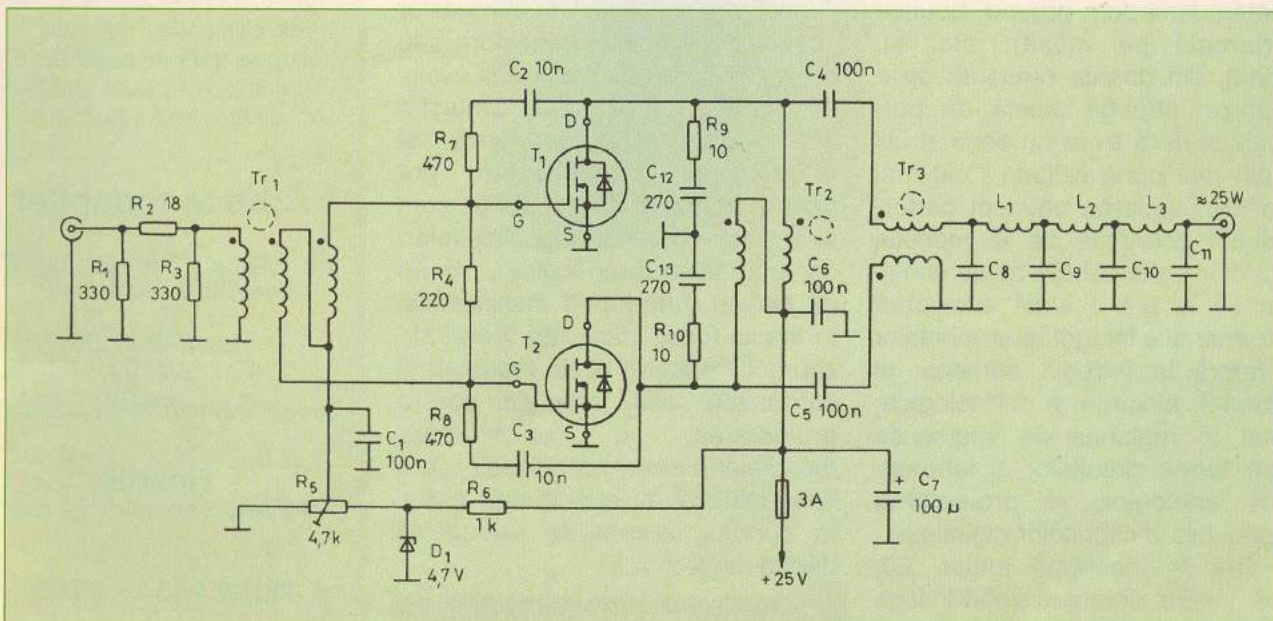
se cuplează la cablul de legătură cu antena  $50\Omega$  sau la un filtru trece jos care pentru 7MHz are următoarele valori: C8-C11 = 440pF, C9-C10 = 820pF, iar bobinele au inductanță de  $1,1\mu\text{H}$ .

Alimentat cu 13,5V acest amplificator debitează 15W pe o sarcină de  $50\Omega$ .

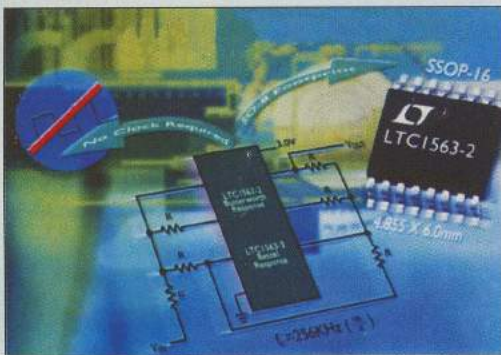
Desigur acest amplificator este publicat ca o sugestie pentru abordarea unor construcții mai complicate și de puteri mai mari, cu tranzistoare singulare sau în paralel.

Materialul publicat este preluat din revista *Amateur Radio*.

ing. I. Mihăescu



# FOTO GHICITOARE



**Ce  
reprezintă  
fotografia?**

Cititorii revistei Conex Club care trimit răspunsul corect, pot obține prin tragere la sorți un abonament gratuit pe o perioadă de 12 luni.

Numele câștigătorului va fi publicat în următorul număr al revistei.

Fotografia publicată în numărul 3/2001 reprezintă  
un radiotransceiver GSM

Câștigătorul concursului din numărul 3/2001 este:

**COSTIN IONEL**

Satul Fundeanu, Comuna Drăgușeni, Jud. Galați

## Urmare din pagina 3

Analiza integrității semnalelor a apărut din dorința de a se descrie cât mai complet setul fundamental de perturbații ale unui semnal: ringing, crosstalk (diafonie), overshoot/undershoot, ground bounce (perturbații pe masă), etc. și, evident, din dorința presantă de a minimiza întreaga paletă de perturbații și de a avea un semnal util de cât mai bună calitate ("cât mai curat") în vederea obținerii performanțelor așteptate de la modulul electronic proiectat. Se poate considera că la ora actuală evaluarea performanță a integrității semnalelor se referă la întregul domeniu al ingerieriei electronicii tehnologice, plasat în regiunea de intersecție dintre teoria circuitelor și fenomenelor analogice și proiectarea propriu-zisă a circuitelor digitale.

Până la începutul anilor '90, când portile comutau relativ lent, semnalele digitale puteau fi

considerate, fără a gresi prea mult, o însiruire de 1-uri și 0-uri. În prezent, însă, structura de interconectare (prin elementele ei constituente: tronsoane drepte de traseu, colțuri, găuri de trecere, salturi de lățime sau ramificații), conexoarele, capsulele circuitelor integrate, terminalele acestora sau chiar zonele de contactare și aliajul de lipire ce realizează contactul efectiv dintre componentă și rețeaua de interconectare pot genera întârzieri și perturbații, cum ar fi: glitch-uri, reset-area circuitelor, comutări false (erori logice), blocări de sistem, întreruperi inexplicabile în timpul funcționării, etc. Se poate spune că o foarte bună integritate a semnalului este crucială pentru proiectarea și funcționarea modulelor electronice digitale care lucrează atât în laboratoare, cât și în condiții extrem de variate și dificile din teren.

**Continuare în numărul viitor**

## Editor

**SC CONEX ELECTRONIC SRL**

J40/8557/1991

### Director

Constantin Mihalache

### Director comercial

Victoria Ionescu

## REDACȚIA

### Redactor șef

Ilie Mihăescu

### Redactori

Croif Constantin  
George Pintilie

## Grafică și Tehnoredactare

Traian Mândrea

Claudia Sandu

### Secretariat

Claudia Sandu

Gilda Ștefan

Revista Conex Club face parte din categoria Publicațiilor Culturale conform deciziei 1972 din 25 octombrie 1999 a Ministerului Culturii.

## Adresa redacției

Str. Maica Domnului, nr. 48,  
sector 2, București

Tel.: 242.22.06  
Fax: 242.09.79

E-mail:conexel@isp.acorp.ro

### Tiparul

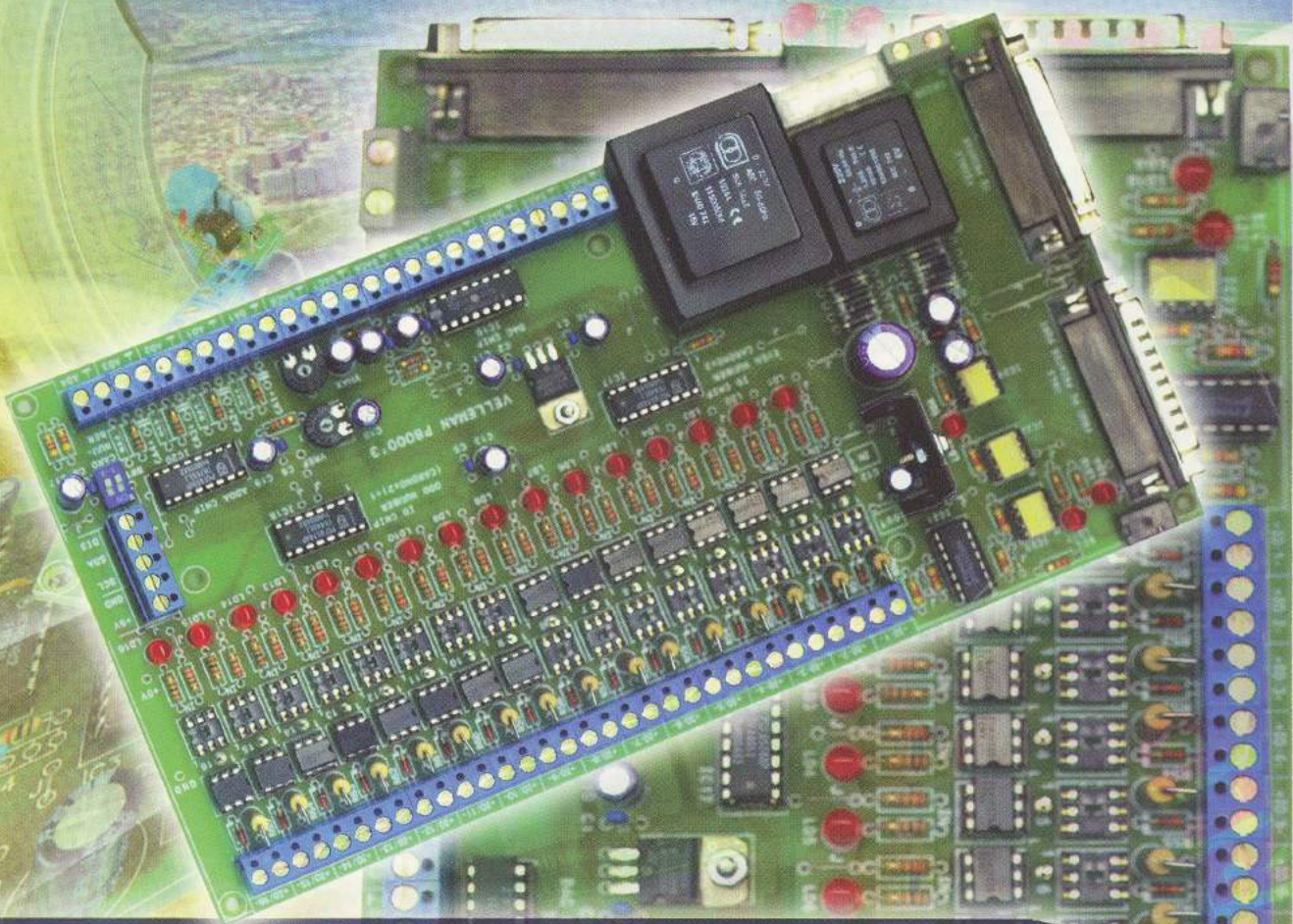
MEGApress holdings s.a.

**ISSN 1454 - 7708**

# K8000 Interfață pentru PC

# velleman-kit

HIGH-Q



**K8000** excelează prin simplitatea instalării și a utilizării. Ea este conectată într-un mod foarte simplu la portul paralel al imprimantei (nu este nevoie să deschizi cutia calculatorului). De asemenea nu este nevoie să instalezi un alt port pentru imprimantă chiar dacă o utilizezi. Aceasta poate fi conectată la placa de interfață la conectorul disponibil. Conectarea interfeței la computer este izolată din punct de vedere electric cu optocuploare, astfel încât deteriorarea calculatorului de către cartelă nu este posibilă.

Lucrează sub următoarele sisteme de operare: DOS, WIN 3.11, WIN95 și WIN98. Interfața poate fi controlată în mod foarte simplu utilizând proceduri Turbo Pascal, Qbasic, Visual Basic sau C++. Aceste proceduri preprogramate se găsesc pe discheta însotitoare, împreună cu un număr de teste și de programe exemplu.

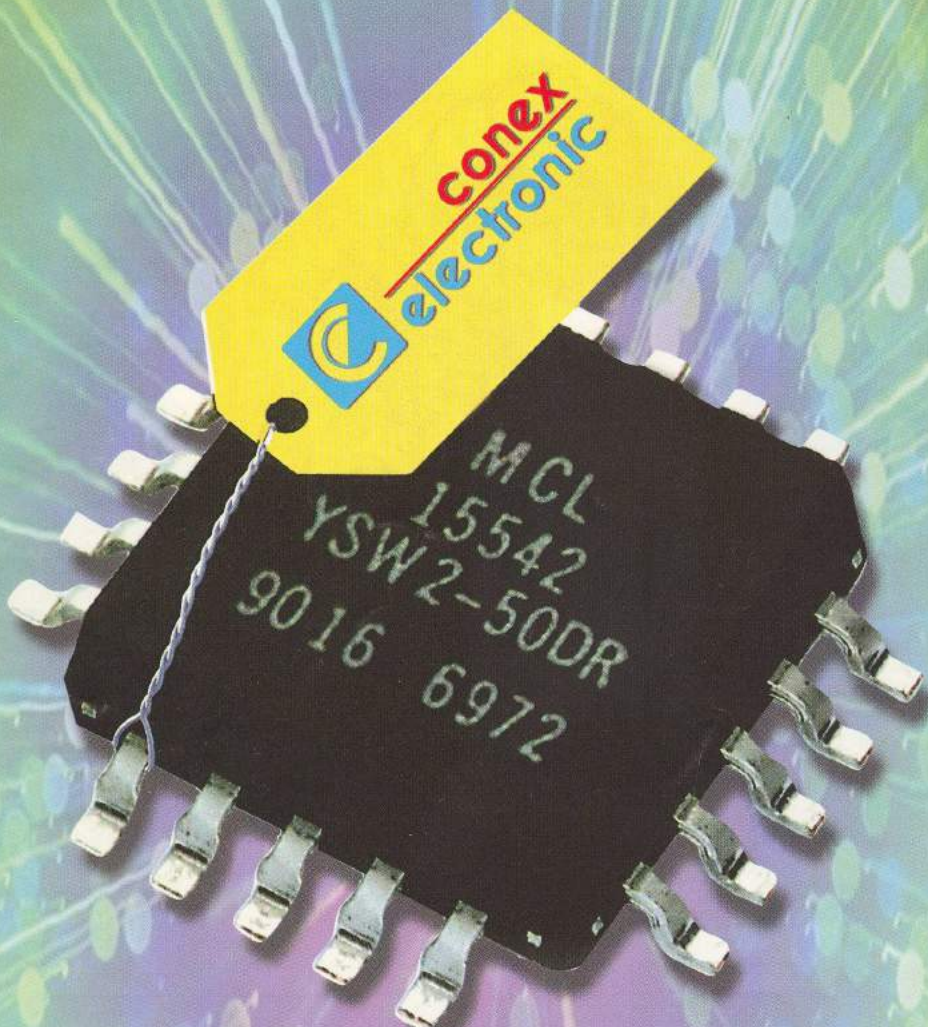
Interfața are 16 conexiuni digitale izolate optic, care pot fi alese liber ca intrări sau ieșiri (ex.: 6 intrări și 10 ieșiri) în acord cu modul în care au fost setate de utilizator. În plus, interfața are 9 ieșiri analogice - dintre care una este de înaltă precizie - și 4 intrări analogice. Dacă această dotare nu este suficientă pentru o anumită aplicație particulară, atunci până la 4 interfețe pot fi conectate împreună (1 master și 3 slave), deci există un potențial enorm.

Interfața poate fi utilizată împreună cu multe alte kituri VELLEMAN, cum ar fi: K6714 - cartela cu 16 canale cu relee, K6710 și K6711 care au 15 canale de telecomandă, K2607 - adaptor cu termometru, K6700 și K6701 comunicare pe 2 fire (max. 16 canale).



**conex**  
**electronic**

Str. Maica Domnului, nr.48  
sect. 2, Bucureşti  
Tel.: 242 2206, Fax: 242 0979



- **COMPONENTE ELECTRONICE**
- **APARATURĂ DE MĂSURĂ**
- SI CONTROL**
- **KIT-URI SI SUBANSAMBLE**
- **SCULE SI ACCESORII**
- PENTRU ELECTRONICĂ**
- **SISTEME DE DEPOZITARE**
- **CASETE DIVERSE**

La cerere produsele comercializate pot fi livrate și prin poștă (cu plata ramburs)